

Rec'd PCT/PTO 30 NOV 2004 #2

PCT/JP 03/07005

日 本 国 特 許 庁

JAPAN PATENT OFFICE

03.06.03

別紙添付の書類に記載されている事項は下記の出願書類に記載されている事項と同一であることを証明する。

This is to certify that the annexed is a true copy of the following application as filed with this Office

出 願 年 月 日

Date of Application:

2002年 6月 3日

出 願 番 号

Application Number:

特願2002-161964

[ST.10/C]:

[JP2002-161964]

出 願 人

Applicant(s):

株式会社ディナベック研究所

REC'D 18 JUL 2003

WIPO

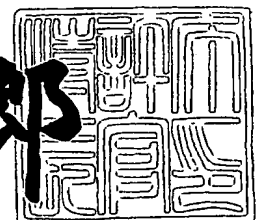
PCT

PRIORITY DOCUMENT
SUBMITTED OR TRANSMITTED IN
COMPLIANCE WITH
RULE 17.1(a) OR (b)

2003年 7月 3日

特 許 庁 長 官
Commissioner,
Japan Patent Office

太田信一郎



出証番号 出証特2003-3052646

【書類名】 特許願

【整理番号】 D3-A0203

【提出日】 平成14年 6月 3日

【あて先】 特許庁長官 殿

【国際特許分類】 C12N 15/63

【発明者】

 【住所又は居所】 茨城県つくば市観音台1丁目25番11号 株式会社デ
 ィナベック研究所内

 【氏名】 井上 誠

【発明者】

 【住所又は居所】 茨城県つくば市観音台1丁目25番11号 株式会社デ
 ィナベック研究所内

 【氏名】 長谷川 護

【特許出願人】

 【識別番号】 595155107

 【氏名又は名称】 株式会社ディナベック研究所

【代理人】

 【識別番号】 100102978

 【弁理士】

 【氏名又は名称】 清水 初志

【選任した代理人】

 【識別番号】 100108774

 【弁理士】

 【氏名又は名称】 橋本 一憲

【手数料の表示】

 【予納台帳番号】 041092

 【納付金額】 21,000円

【提出物件の目録】

 【物件名】 明細書 1

【物件名】 図面 1

【物件名】 要約書 1

【包括委任状番号】 9716812

【プルーフの要否】 要

【書類名】 明細書

【発明の名称】 抗体をコードするパラミクソウイルスベクターおよびその利用

【特許請求の範囲】

【請求項 1】 抗体可変領域を含むポリペプチドをコードするパラミクソウイルスベクター。

【請求項 2】 パラミクソウイルスがセンダイウイルスである、請求項 1 に記載のウイルスベクター。

【請求項 3】 該ポリペプチドが分泌型である、請求項 1 に記載のウイルスベクター。

【請求項 4】 抗体の H 鎖可変領域を含むポリペプチド、および抗体の L 鎖可変領域を含むポリペプチドをコードしている請求項 1 に記載のパラミクソウイルスベクターであって、これら 2 つのポリペプチドが、互いに結合できる 1 つまたは複数のアミノ酸を含んでいるベクター。

【請求項 5】 抗体の H 鎖可変領域を含むポリペプチド、および抗体の L 鎖可変領域を含むポリペプチドが、互いに結合して F a b を構成する、請求項 4 に記載のウイルスベクター。

【請求項 6】 抗体可変領域の少なくとも 1 つがリガンドまたは受容体に対する抗体に由来する、請求項 5 に記載のウイルスベクター。

【請求項 7】 抗体が神経細胞の生存、分化、または神経突起伸長を促進する活性を有する、請求項 6 に記載のウイルスベクター。

【請求項 8】 抗体が NOGO に対する抗体である、請求項 7 に記載のウイルスベクター。

【請求項 9】 抗体が免疫反応を抑制する活性を有する、請求項 6 に記載のウイルスベクター。

【請求項 1 0】 抗体が、T 細胞または抗原提示細胞の表面に発現する受容体またはそのリガンドに対する抗体である、請求項 9 に記載のベクター。

【請求項 1 1】 該受容体またはそのリガンドが、T 細胞または抗原提示細胞のコスティミュラトリーシグナルのシグナル伝達分子である、請求項 1 0 に記載のベクター。

【請求項 12】 該シグナル伝達分子が、CD28、CD80、CD86、LFA-1、ICAM-1 (CD54)、および ICOS からなる群より選択される分子である、請求項 11 に記載のベクター。

【請求項 13】 さらに他の外来遺伝子をコードしている、請求項 9 に記載のベクター。

【請求項 14】 抗体可変領域を含む組み換えポリペプチドの製造方法であって、

(a) 請求項 1 に記載のウイルスベクターを哺乳動物細胞に導入する工程、および

(b) 該ベクターが導入された哺乳動物細胞またはその培養上清から、産生されたポリペプチドを回収する工程、を含む方法。

【請求項 15】 請求項 14 に記載の方法により製造されたポリペプチド。

【請求項 16】 神経形成を促進する方法であって、神経を形成させる必要がある部位に請求項 7 に記載のベクターを送達する工程を含む方法。

【請求項 17】 脊髄損傷の治療方法であって、該損傷部位に請求項 7 に記載のベクターを送達する工程を含む方法。

【請求項 18】 請求項 9 に記載のベクターを投与する工程を含む、免疫反応を抑制する方法。

【請求項 19】 ベクターからの遺伝子の発現を持続させるおよび／またはベクターの繰り返し投与を可能にする方法であって、請求項 9 に記載のベクターを投与する工程を含む方法。

【請求項 20】 免疫原性が低下したベクター組成物であって、請求項 9 に記載のベクターおよび薬学的に許容される担体を含む組成物。

【発明の詳細な説明】

【0001】

【発明の属する技術分野】

本発明は、抗体可変領域を含むポリペプチドをコードするパラミクソウイルスベクターおよびその利用に関する。

【0002】

【従来の技術】

モノクローナル抗体は医薬品としてその有用性が広く認識されており、既に10種以上のモノクローナル抗体医薬が販売もしくは販売に向けて準備が進められている状況にある。モノクローナル抗体医薬の特徴はやはりその選択性にあり、唯一特定の抗原と結合し、阻害或いは排除等の活性を発現することから、今後も医薬品としての発展が期待されている。モノクローナル抗体医薬は、通常は哺乳動物のハイブリドーマで作製されるが、一般的には生産コストが高いこと、また通常は全身デリバリーでの投与になるため、軽微な場合でも発熱等の副作用が生じることが問題点として指摘されている。大腸菌等のバクテリア、酵母、あるいは昆虫細胞によって抗体を産生する試みもあるが、糖鎖修飾の違いなどが抗体の生物活性および抗体蛋白質の抗原性に影響を及ぼす懸念がある。

【0003】

【発明が解決しようとする課題】

本発明は、抗体可変領域を含むポリペプチドをコードするパラミクソウイルスベクターおよびその利用を提供することを課題とする。

【0004】

【課題を解決するための手段】

本発明者らは、現在広く利用されている、及び今後利用拡大が予想されるモノクローナル抗体医薬を、これら遺伝子導入ベクターを介して発現させることが可能であれば、病巣近辺での局所的な発現が可能となり、副作用の軽減とともに、モノクローナル抗体医薬の開発上必ず発生するコスト面での問題を解決する可能性が高いと考えた。

近年、遺伝子治療を目的として多様な遺伝子導入用ベクターが開発されており、ベクターの種類にもよるが、遺伝子導入細胞での局所的な発現を期待することができる。中でも本発明者らはこれまで、センダイウイルス（SeV）を用いて遺伝子治療にも使用できる新しい遺伝子導入用および遺伝子治療用のベクターの開発を行ってきた。SeVは非分節型マイナス鎖RNAウイルスで、パラミクソウイルス（Paramyxovirus）に属し、murine parainfluenza virusの一種である。本発明者らは、モノクローナル抗体を発現するSeVを新規に構築し、これを用いて生体

内でモノクローナル抗体を発現させる新たな遺伝子治療を確立するため実験を行った。本発明者らは、複製型および複製欠損型の2種のSeVを用いて、神経軸索伸長阻害因子(NOGO)に対する中和抗体(IN-1)のFab(H鎖及びL鎖)遺伝子を搭載したベクターを構築した。両ベクターともに再構成に成功し、複製型で 2.9×10^9 H AU (約 5×10^8 CIU/mL)、複製欠損型(F欠失型)で 2.7×10^7 CIU/mLのベクターを回収することに成功した。このベクターを導入した細胞の培養上清からは、酸化条件で約47kDa、還元条件で約30kDaのバンドが検出され、酸化条件ではH鎖及びL鎖が結合したFab抗体が形成されていると判断された。軸索伸長阻害因子に対する抗体を発現するベクターは、脊髄損傷への応用が想定され、本ベクターを用いた脊髄傷害に対する遺伝子治療が可能となる。

【0005】

また本発明者らは、抗体を発現するパラミクソウイルスベクターは、免疫原性が抑制されたベクターとしても有用であることを見出した。ウイルスベクターの生体内投与においては導入されたウイルスに対する免疫が誘導され、これによりウイルスベクターが排除され導入遺伝子の長期発現が阻害される。このような状況では、ベクターの複数回投与も困難となる。ベクターに免疫誘導を抑制する作用を持たせれば、ベクターに対する免疫反応を抑制し、導入遺伝子の長期発現および複数回投与(繰り返し投与)が可能となる。このためには、免疫シグナル分子に対する抗体を発現するベクターが有効である。例えば、T細胞などの免疫細胞におけるT細胞受容体(TCR)、抗原、及び組織適合性抗原(MHC)に由来するシグナルと共同して働く、第二のシグナルであるコスティミュラトリーシグナル(co-stimulatory signal; 補助刺激)分子に対する抗体をベクターから発現させることにより、この第二のシグナルを欠如させ、T細胞を不活化させることができる。このようなパラミクソウイルスベクターは、ベクターに対する細胞性免疫を抑制し、導入遺伝子の長期発現を可能とする。

【0006】

このように本発明において提供されるベクターは、特に遺伝子治療等において生体に投与するベクターとして適しており、種々の疾病や傷害への適用が期待できる。また、パラミクソウイルスベクターは哺乳動物細胞において導入遺伝子を

極めて高いレベルで発現することが可能であることから、ヒトを含めた哺乳動物細胞で所望の抗体を大量に製造させることも可能である。このように、抗体を発現するパラミクソウイルスベクターは、臨床的にも産業的にも高い有用性を有している。本発明は、抗体の可変領域を含むポリペプチドをコードするパラミクソウイルスベクターおよびその利用に関し、より具体的には、

- (1) 抗体可変領域を含むポリペプチドをコードするパラミクソウイルスベクター、
- (2) パラミクソウイルスがセンダイウイルスである、(1)に記載のウイルスベクター、
- (3) 該ポリペプチドが分泌型である、(1)に記載のウイルスベクター、
- (4) 抗体のH鎖可変領域を含むポリペプチド、および抗体のL鎖可変領域を含むポリペプチドをコードしている(1)に記載のパラミクソウイルスベクターであって、これら2つのポリペプチドが、互いに結合できる1つまたは複数のアミノ酸を含んでいるベクター、
- (5) 抗体のH鎖可変領域を含むポリペプチド、および抗体のL鎖可変領域を含むポリペプチドが、互いに結合してFabを構成する、(4)に記載のウイルスベクター、
- (6) 抗体可変領域の少なくとも1つがリガンドまたは受容体に対する抗体に由来する、(5)に記載のウイルスベクター、
- (7) 抗体が神経細胞の生存、分化、または神経突起伸長を促進する活性を有する、(6)に記載のウイルスベクター、
- (8) 抗体がNOGOに対する抗体である、(7)に記載のウイルスベクター、
- (9) 抗体が免疫反応を抑制する活性を有する、(6)に記載のウイルスベクター、
- (10) 抗体が、T細胞または抗原提示細胞の表面に発現する受容体またはそのリガンドに対する抗体である、(9)に記載のベクター、
- (11) 該受容体またはそのリガンドが、T細胞または抗原提示細胞のコステイミュラトリーシグナルのシグナル伝達分子である、(10)に記載のベクター、
- (12) 該シグナル伝達分子が、CD28、CD80、CD86、LFA-1、ICAM-1 (CD54)、

および ICOS からなる群より選択される分子である、(11)に記載のベクター

(13) さらに他の外来遺伝子をコードしている、(9)に記載のベクター、

(14) 抗体可変領域を含む組み換えポリペプチドの製造方法であって、

(a) (1)に記載のウイルスベクターを哺乳動物細胞に導入する工程、および

(b) 該ベクターが導入された哺乳動物細胞またはその培養上清から、産生されたポリペプチドを回収する工程、を含む方法、

(15) (14)に記載の方法により製造されたポリペプチド、

(16) 神経形成を促進する方法であって、神経を形成させる必要がある部位に

(7)に記載のベクターを送達する工程を含む方法、

(17) 脊髄損傷の治療方法であって、該損傷部位に(7)に記載のベクターを送達する工程を含む方法、

(18) (9)に記載のベクターを投与する工程を含む、免疫反応を抑制する方法、

(19) ベクターからの遺伝子の発現を持続させるおよび／またはベクターの繰り返し投与を可能にする方法であって、(9)に記載のベクターを投与する工程を含む方法、

(20) 免疫原性が低下したベクター組成物であって、(9)に記載のベクターおよび薬学的に許容される担体を含む組成物、に関する。

【0007】

【発明の実施の形態】

本発明において「抗体」とは、イムノグロブリンの可変領域を含むポリペプチドを総称し、具体的にはイムノグロブリン鎖(H鎖またはL鎖)、その可変領域を含む断片、および該断片を含むポリペプチドが含まれる。抗体は、天然の抗体であっても人工的に作出した抗体であってもよい。例えば、2種またはそれ以上の抗体のキメラ(例えばヒトおよび他の哺乳動物のキメラ抗体)などであってもよく、Fc領域の置換あるいはCDRグラフトなどで構築した組み換え抗体(例えばヒト化抗体など)は本発明において抗体に含まれる。「イムノグロブリン可変領域

」とは、イムノグロブリンH鎖またはL鎖の可変領域（すなわち V_H または V_L ）またはその部分を言う。L鎖は κ 鎖であっても γ 鎖であってもよい。本発明において可変領域は相補性決定領域（CDR）のいずれかを含むアミノ酸配列からなっていてよく、具体的にはH鎖またはL鎖のCDR1、CDR2、およびCDR3のいずれかを含むものである。好ましくは本発明においてイムノグロブリン可変領域は、H鎖またはL鎖のCDR1、CDR2、およびCDR3の3つのCDRを含む領域である。本発明においてイムノグロブリンは任意のクラスに属するものが含まれ、例えば IgM、IgG、IgA、IgE、および IgD を含む。

【0008】

組み換えウイルスとは、組み換えポリヌクレオチドを介して生成したウイルスを言う。組み換えポリヌクレオチドとは、自然の状態と同じようには結合していないポリヌクレオチドを言う。具体的には、組み換えポリヌクレオチドは、人の手によってポリヌクレオチド鎖の結合が改変（切断または結合）されたポリヌクレオチドである。組み換えポリヌクレオチドは、ポリヌクレオチド合成、ヌクレアーゼ処理、リガーゼ処理等を組み合わせて、公知の遺伝子組み換え方法により生成させることができる。組み換え蛋白質は、蛋白質をコードする組み換えポリヌクレオチドを発現させることにより生産することができる。組み換えウイルスは、遺伝子操作により構築されたウィルスゲノムをコードするポリヌクレオチドを発現させ、ウイルスを再構築することによって生成することができる。組み換え蛋白質とは、組み換えポリヌクレオチドを介して生成した蛋白質または人工的に合成された蛋白質を言う。

【0009】

本発明において遺伝子とは遺伝物質を指し、転写単位をコードする核酸を言う。遺伝子はRNAであってもDNAであってもよい。本発明において蛋白質をコードする核酸は、該蛋白質の遺伝子と呼ぶ。また遺伝子は蛋白質をコードしていなくてもよく、例えば遺伝子はリボザイムまたはアンチセンスRNAなどの機能的RNAをコードするものであってもよい。遺伝子は天然由来または人為的に設計された配列であり得る。また、本発明において「DNA」とは、一本鎖DNAおよび二本鎖DNAを含む。また蛋白質をコードするとは、ポリヌクレオチドが該蛋白質を適当な条件

下で発現できるように、該蛋白質のアミノ酸配列をコードするORFをセンスまたはアンチセンスに含むことを言う。

【0010】

本発明においてパラミクソウイルスとはパラミクソウイルス科 (Paramyxoviridae) に属するウイルスまたはその誘導体を指す。パラミクソウイルスは、非分節型ネガティブ鎖RNAをゲノムに持つウイルスのグループの1つで、パラミクソウイルス亜科 (Paramyxovirinae) (レスピロウイルス属 (パラミクソウイルス属とも言う)、ルブラウイルス属、およびモービリウイルス属を含む) およびニューモウイルス亜科 (Pneumovirinae) (ニューモウイルス属およびメタニューモウイルス属を含む) を含む。本発明を適用可能なパラミクソウイルスとしては、具体的にはセンダイウイルス (Sendai virus)、ニューカッスル病ウイルス (Newcastle disease virus)、おたふくかぜウイルス (Mumps virus)、麻疹ウイルス (Measles virus)、RSウイルス (Respiratory syncytial virus)、牛痘ウイルス (rinderpest virus)、ジステンパーウイルス (distemper virus)、サルパラインフルエンザウイルス (SV5)、ヒトパラインフルエンザウイルス1, 2, 3型等が挙げられる。本発明のウイルスは、好ましくはパラミクソウイルス亜科に属するウイルスまたはその誘導体であり、より好ましくはレスピロウイルス属 (genus Respirivirus) に属するウイルスまたはその誘導体である。本発明を適用可能なレスピロウイルス属ウイルスとしては、例えばヒトパラインフルエンザウイルス1型 (HPIV-1)、ヒトパラインフルエンザウイルス3型 (HPIV-3)、ウシパラインフルエンザウイルス3型 (BPIV-3)、センダイウイルス (Sendai virus; マウスパラインフルエンザウイルス1型とも呼ばれる)、およびサルパラインフルエンザウイルス10型 (SPIV-10) などが含まれる。本発明においてパラミクソウイルスは、最も好ましくはセンダイウイルスである。これらのウイルスは、天然株、野生株、変異株、ラボ継代株、および人為的に構築された株などに由来してもよい。

【0011】

本発明においてベクターとは、核酸を細胞に導入する担体である。パラミクソウイルスベクターとは、パラミクソウイルスに由来する、核酸を細胞に導入する担体である。SeVなどのパラミクソウイルスは遺伝子導入ベクターとして優れて

おり、宿主細胞の細胞質でのみ転写・複製を行い、DNAフェーズを持たないため染色体への組み込み (integration) は起こらない。このため染色体異常による癌化や不死化などの安全面における問題が生じない。パラミクソウィルスのこの特徴は、ベクター化した時の安全性に大きく寄与している。異種遺伝子発現の結果では、SeVを連続多代継代しても殆ど塩基の変異が認められず、ゲノムの安定性が高く、挿入異種遺伝子を長期間に渡って安定に発現する事が示されている (Yu, D. et al., *Genes Cells* 2, 457-466 (1997))。また、カプシド構造蛋白質を持たないことによる導入遺伝子のサイズまたはパッケージングの柔軟性 (flexibility) など性質上のメリットがある。複製能を有するSeVベクターは、外来遺伝子を少なくとも4kbまで導入可能であり、転写ユニットを付加することによって2種類以上の遺伝子を同時に発現する事が可能である。これにより、抗体のH鎖およびL鎖を同一ベクターから発現させることができる。

【0012】

また、センダイウイルスは齧歯類にとっては病原性で肺炎を生じることが知られているが、ヒトに対しては病原性がない。これはまた、野生型センダイウイルスの経鼻的投与によって非ヒト霊長類において重篤な有害作用を示さないというこれまでの報告によっても支持されている (Hurwitz, J. L. et al., *Vaccine* 15: 533-540, 1997)。更に特筆すべき利点として以下の2点、すなわち「高感染性」及び「高発現量」を挙げることができる。SeVベクターは細胞膜蛋白糖鎖のシアル酸に結合して感染するが、このシアル酸はほとんどの細胞で発現しており、このことが感染スペクトルを広くする、則ち高感染性に繋がっている。SeVのレプリコンをベースにした複製型ベクターは放出されたウイルスが周囲の細胞にも再感染し、感染細胞の細胞質で多コピーに複製されたRNPが細胞の分裂に伴い娘細胞にも分配されるため持続発現が期待される。また、SeVベクターは非常に広い組織適用範囲を持つ。広範な感染性を有するということは、様々な種類の抗体治療 (及び解析) に利用可能であることを示している。また、細胞質のみでの転写・複製という特徴的な発現機構であることから、搭載遺伝子の発現量が非常に高いことが示されている (Moriya, C. et al., *FEBS Lett.* 425(1) 105-111 (1998); W000/70070)。更に、エンペロープ遺伝子を欠失して非伝播性にしたSeV

ベクターの回収にも成功しており (W000/70070; Li, H.-O. et al., J. Virol. 74(14) 6564-6569 (2000))、「高感染性」及び「高発現量」を維持して、「安全性」をさらに高めるための改良が進行している。

【0013】

センダイウイルスのこれらの特徴は、SeVを初めとするパラミクソウィルスベクターは有効な遺伝子治療用および遺伝子導入用ベクターであり、抗体のインビボまたはエクスピボでの発現を目的とした遺伝子治療における有望な選択肢の一つとなることを支持するものである。特にH鎖およびL鎖を高いレベルで共発現することが可能で、ヒトに毒性がないベクターは、臨床的に高い可能性を持つ。パラミクソウィルスベクターに治療用（及び解析用）の抗体遺伝子を搭載して機能を発揮させることで、病巣近辺での局所的な高い発現が可能となり、治療効果の確実性ととともに副作用の軽減が期待される。また、モノクローナル抗体医薬の開発上必ず発生するコスト面での問題を解決する可能性も高い。これらの効果は、一過的に強発現が誘導される、SeVを初めとするパラミクソウィルスベクターだからこそ、より有効であると考えられる。

【0014】

パラミクソウィルスベクターは、パラミクソウィルスのゲノムRNAを含んでいる。ゲノムRNAとは、パラミクソウィルスのウィルス蛋白質と共にRNPを形成し、該蛋白質によりゲノム中の遺伝子が発現し、該核酸が複製して娘RNPが形成される機能を持つRNAを言う。パラミクソウィルスは一本鎖ネガティブ鎖RNAをゲノムに持つウィルスであるので、このようなRNAは搭載遺伝子をアンチセンスとしてコードしている。一般にパラミクソウィルスのゲノムは、3'リーダー領域と5'トレイラー領域の間に、ウィルス遺伝子がアンチセンスとして並んだ構成をしている。各遺伝子のORFの間には、転写終結配列(E配列) - 介在配列(I配列) - 転写開始配列(S配列)が存在し、これにより各遺伝子のORFをコードするRNAが別々のシストロンとして転写される。本発明のベクターに含まれるゲノムRNAは、該RNAにコードされる遺伝子群の発現およびRNA自身の自律的な複製に必要なウィルス蛋白質であるN(ヌクレオキャプシド)、P(ホスホ)、およびL(ラージ)をアンチセンスにコードしている。また該RNAは、ウィルス粒子の形成に必要なM(マ

トリックス) 蛋白質をコードしていてもよい。さらに該RNAは、ウイルス粒子の感染に必要なエンベロープ蛋白質をコードしていてもよい。パラミクソウイルスのエンベロープ蛋白質としては、細胞膜融合を起こす蛋白質であるF (フュージョン) 蛋白質および細胞への接着に必要なHN (ヘマグルチニン-ノイラミニダーゼ) 蛋白質が挙げられる。但し、ある種の細胞では感染にHN蛋白質は必要なく (Markwell, M.A. et al., Proc. Natl. Acad. Sci. USA 82(4):978-982 (1985))、F蛋白質のみで感染が成立する。また、F蛋白質および/またはHN蛋白質以外のウイルスエンベロープ蛋白質をコードさせてもよい。

【0015】

本発明のパラミクソウイルスベクターは、例えばパラミクソウイルスのゲノムRNAとウイルス蛋白質からなる複合体、すなわちリボヌクレオプロテイン (RNP) であってよい。RNPは、例えば所望のトランスフェクション試薬と組み合わせて細胞に導入することができる。このようなRNPは、具体的にはパラミクソウイルスのゲノムRNA、N蛋白質、P蛋白質、およびL蛋白質を含む複合体である。RNPは細胞内に導入されると、ウイルス蛋白質の働きによりゲノムRNAからウイルス蛋白質をコードするシストロンが転写されると共に、ゲノム自身が複製され娘RNPが形成される。ゲノムRNAの複製は、該RNAのコピー数の増加をRT-PCRまたはノーザンハイブリダイゼーション等により検出することにより確認することができる。

【0016】

また本発明のパラミクソウイルスベクターは、好ましくはパラミクソウイルスのウイルス粒子である。ウイルス粒子とは、ウイルス蛋白質の働きにより細胞から放出される、核酸を含む微小粒子を言う。パラミクソウイルスのウイルス粒子は、ゲノムRNAとウイルス蛋白質を含む上記RNPが細胞膜由来の脂質膜 (エンベロープという) に含まれた構造をしている。ウイルス粒子は、感染性を示すものであってよい。感染性とは、パラミクソウイルスベクターが細胞への接着能および膜融合能を保持していることにより、接着した細胞の内部にベクター内部の核酸を導入することのできる能力を言う。本発明のパラミクソウイルスベクターは、複製能を有していてもよく、あるいは複製能を有さない欠損型ベクターであって

もよい。「複製能を有する」とは、ウイルスベクターが宿主細胞に感染した場合、該細胞においてウイルスが複製され、感染性ウイルス粒子が産生されることを指す。

【0017】

例えばパラミクソウイルス亜科に属する各ウイルスにおける各遺伝子は、一般に次のように表記される。一般に、N遺伝子は“NP”とも表記される。

レスピロウイルス属	N	P/C/V	M	F	HN	-	L
ルブラウイルス属	N	P/V	M	F	HN (SH)		L
モービリウイルス属	N	P/C/V	M	F	H	-	L

【0018】

例えばセンダイウイルスの各遺伝子の塩基配列のデータベースのアクセッション番号は、N遺伝子については M29343、M30202、M30203、M30204、M51331、M55565、M69046、X17218、P遺伝子については M30202、M30203、M30204、M55565、M69046、X00583、X17007、X17008、M遺伝子については D11446、K02742、M30202、M30203、M30204、M69046、U31956、X00584、X53056、F遺伝子については D00152、D11446、D17334、D17335、M30202、M30203、M30204、M69046、X00152、X02131、HN遺伝子については D26475、M12397、M30202、M30203、M30204、M69046、X00586、X02808、X56131、L遺伝子については D00053、M30202、M30203、M30204、M69040、X00587、X58886を参照のこと。

【0019】

これらのウイルス蛋白質のORFは、ゲノムRNAにおいて上記のE-I-S配列を介してアンチセンスに配置される。ゲノムRNAにおいて最も3'に近いORFは、3'リーダー領域と該ORFとの間にS配列のみが必要であり、EおよびI配列は必要ない。またゲノムRNAにおいて最も5'に近いORFは、5'トレイラー領域と該ORFとの間にE配列のみが必要であり、IおよびS配列は必要ない。また2つのORFは、例えばIRES等の配列を用いて同一シストロンとして転写させることも可能である。このような場合は、これら2つのORFの間にはE-I-S配列は必要ない。野生型のパラミクソウイルスの場合、典型的なRNAゲノムは、3'リーダー領域に続き、N、P、M、F、HN、およびL蛋白質をアンチセンスにコードする6つのORFが順に並んでおり、それ

に続いて5'トレイラー領域を他端に有する。本発明のゲノムRNAにおいては、ウイルス遺伝子の配置はこれに限定されるものではないが、好ましくは、野生型ウイルスと同様に、3'リーダー領域に続き、N、P、M、F、HN、およびL蛋白質をコードするORFが順に並び、それに続いて5'トレイラー領域が配置されることが好ましい。ある種のパラミクソウイルスにおいては、ウイルス遺伝子は6つではないが、そのような場合でも上記と同様に各ウイルス遺伝子を野生型と同様の配置とすることが好ましい。一般に N、P、およびL遺伝子を保持しているベクターは、細胞内で自立的にRNAゲノムから遺伝子が発現し、ゲノムRNAが複製される。さらにFおよびHN遺伝子等のエンベロープ蛋白質をコードする遺伝子、およびM遺伝子の働きにより、感染性のウイルス粒子が形成され、細胞外に放出される。従って、このようなベクターは複製能を有するウイルスベクターとなる。抗体可変領域を含むポリペプチドをコードする遺伝子は、後述するように、このゲノム中の蛋白質非コード領域に挿入すればよい。

【0020】

また、本発明のパラミクソウイルスベクターは、野生型パラミクソウイルスが持つ遺伝子のいずれかを欠損したものであってよい。例えば、M、F、またはHN遺伝子、あるいはそれらの組み合わせが含まれていないパラミクソウイルスベクターも、本発明のパラミクソウイルスベクターとして好適に用いることができる。このようなウイルスベクターの再構成は、例えば、欠損している遺伝子産物を外来的に供給することにより行うことができる。このようにして製造されたウイルスベクターは、野生型ウイルスと同様に宿主細胞に接着して細胞融合を起こすが、細胞に導入されたベクターゲノムはウイルス遺伝子に欠損を有するため、最初と同じような感染力を持つ娘ウイルス粒子は形成されない。このため、一回限りの遺伝子導入力を持つ安全なウイルスベクターとして有用である。ゲノムから欠損させる遺伝子としては、例えばF遺伝子および／またはHN遺伝子が挙げられる。例えば、F遺伝子が欠損した組み換えパラミクソウイルスベクターゲノムを発現するプラスミドを、F蛋白質の発現ベクターならびにNP、P、およびL蛋白質の発現ベクターと共に宿主細胞にトランスフェクションすることにより、ウイルスベクターの再構成を行うことができる（国際公開番号 W000/70055 および W000/

70070; Li, H.-O. et al., J. Virol. 74(14) 6564-6569 (2000))。また、例えば、F遺伝子が染色体に組み込まれた宿主細胞を用いてウイルスを製造することもできる。これらの蛋白質群を外から供給する場合、そのアミノ酸配列はウイルス由来の配列そのままでもなくとも、核酸の導入における活性が天然型のそれと同等かそれ以上ならば、変異を導入したり、あるいは他のウイルスの相同遺伝子で代用してもよい。

【0021】

また、本発明のウイルスベクターとして、ベクターゲノムが由来するウイルスのエンベロープ蛋白質とは異なる蛋白質をエンベロープに含むベクターを作製することもできる。例えば、ウイルス再構成の際に、ベクターのベースとなるウイルスのゲノムがコードするエンベロープ蛋白質以外のエンベロープ蛋白質を細胞で発現させることにより、所望のエンベロープ蛋白質を有するウイルスベクターを製造することができる。このような蛋白質に特に制限はない。例えば、他のウイルスのエンベロープ蛋白質、例えば水痘性口内炎ウイルス (VSV) のG蛋白質 (VSV-G) を挙げることができる。本発明のウイルスベクターには、VSV-G蛋白質などのように、ゲノムが由来するウイルス以外のウイルスに由来するエンベロープ蛋白質を含むシュードタイプウイルスベクターが含まれる。ウイルスのゲノムRNAにはこれらのエンベロープ蛋白質をゲノムにコードされないように設計すれば、ウイルス粒子が細胞に感染した後は、ウイルスベクターからこの蛋白質が発現されることはない。

【0022】

また、本発明のウイルスベクターは、例えば、エンベロープ表面に特定の細胞に接着しうるような接着因子、リガンド、受容体等の蛋白質、抗体またはその断片、あるいはこれらの蛋白質を細胞外領域に有し、ウイルスエンベロープ由来のポリペプチドを細胞内領域に有するキメラ蛋白質などを含むものであってもよい。これにより、特定の組織を標的として感染するベクターを作り出すこともできる。これらはウイルスゲノムにコードされていてもよいし、ウイルスベクターの再構成時に、ウイルスゲノム以外の遺伝子 (例えば別の発現ベクターまたは宿主染色体上などにある遺伝子) の発現により供給されてもよい。

【0023】

また本発明のベクターは、例えばウィルス蛋白質による免疫原性を低下させるために、またはRNAの転写効率や複製効率を高めるために、ベクターに含まれる任意のウィルス遺伝子が野生型遺伝子から改変されていてよい。具体的には、例えばパラミクソウィルスベクターにおいては、複製因子であるN、P、およびL遺伝子の中の少なくとも一つを改変し、転写または複製の機能を高めることが考えられる。また、エンベロープ蛋白質の1つであるHN蛋白質は、赤血球凝集素であるヘマグルチニン (hemagglutinin) 活性とノイラミニダーゼ (neuraminidase) 活性との両者の活性を有するが、例えば前者の活性を弱めることができれば、血液中でのウィルスの安定性を向上させることが可能であろうし、例えば後者の活性を改変することにより、感染能を調節することも可能である。また、F蛋白質を改変することにより膜融合能を調節することもできる。また、例えば、細胞表面の抗原分子となりうるF蛋白質やHN蛋白質の抗原提示エピトープ等を解析し、これを利用してこれらの蛋白質に関する抗原提示能を弱めたウィルスベクターを作製することもできる。

【0024】

また本発明のベクターにおいては、アクセサリー遺伝子が欠損したものであってよい。例えばSeVのアクセサリー遺伝子の1つであるV遺伝子をノックアウトすることにより、培養細胞における遺伝子発現や複製は障害されることなく、マウス等の宿主に対するSeVの病原性が顕著に減少する (Kato, A. et al., 1997, J. Virol. 71:7266-7272; Kato, A. et al., 1997, EMBO J. 16:578-587; Curran, J. et al., W001/04272, EP1067179)。このような弱毒化ベクターは、in vivo またはex vivoにおける毒性のない遺伝子導入用ウィルスベクターとして特に有用である。

【0025】

本発明のベクターは、上記のパラミクソウィルスベクターのゲノムに、抗体可変領域を含むポリペプチドをコードする核酸を有する。抗体可変領域を含むポリペプチドとしては、天然の抗体全長 (full body) であってもよく、抗原を認識する限り、抗体の可変領域を含む断片であってもよい。抗体断片としては、例え

ばFab、F(ab')₂、または scFv などが例示できる。抗体断片をコードする核酸の挿入位置は、例えばゲノムの蛋白質非コード領域の所望の部位を選択することができ、例えば3' リーダー領域と3' に最も近いウイルス蛋白質ORFとの間、各ウイルス蛋白質ORFの間、および/または5' に最も近いウイルス蛋白質ORFと5' トレイラー領域の間に挿入することができる。また、FまたはHN遺伝子などを欠失するゲノムでは、その欠失領域に抗体断片をコードする核酸を挿入することができる。パラミクソウイルスに外来遺伝子を導入する場合は、ゲノムへの挿入断片のポリヌクレオチドの鎖長が6の倍数となるように挿入することが望ましい (Journal of Virology, Vol. 67, No. 8, 4822-4830, 1993)。挿入した外来遺伝子とウイルスORFの間には、E-I-S配列が構成されるようにする。E-I-S配列を介して2またはそれ以上の遺伝子をタンデムに並べて挿入することができる。あるいは、IRESを介して目的の遺伝子を挿入してもよい。

【 0 0 2 6 】

本発明においてFabとは、抗体H鎖可変領域を含む1つのポリペプチド鎖およびL鎖可変領域を含む1つのポリペプチド鎖からなる複合体を言う。これらのポリペプチドは互いに結合し1つの抗原結合部位 (1価) を形成する。Fabは、典型的にはイムノグロブリンをパパインで消化することにより得られるが、これと同等の構造を有するものも本発明においてFabと称す。具体的には、FabはイムノグロブリンL鎖と、H鎖可変領域 (V_H) および C_H1を含むポリペプチド鎖とが結合した二量体蛋白質であってよい。H鎖断片のC末端部位はパパインの切断部位でなくてもよく、他のプロテアーゼまたは薬剤により切断されたもの、あるいは人工的に設計した断片であってよい。Fab' (イムノグロブリンをペプシン消化後、H鎖間のジスルフィド結合を切断して得られる)、および Fab(t) (イムノグロブリンのトリプシン消化で得られる) など、Fabと同等の構造を有することから、これらは本発明においてFabに含まれる。イムノグロブリンのクラスは限定されず、IgGおよびIgMなどを含む全てのクラスが含まれる。Fabは、典型的にはH鎖断片およびL鎖断片のC末端付近に、両者がジスルフィド結合を介して結合できるシステイン残基を有している。しかし本発明においてFabは、ジスルフィド結合を介して結合していなくてもよく、例えば相互に結合できるペプチド断片をL鎖とH

鎖断片とに付加しておき、これらのペプチドを介して両鎖を結合させFabを形成させてもよい。

【0027】

本発明においてF(ab')₂とは、抗体の定常領域を欠失する抗体またはそれと同等の形態の蛋白質複合体を言い、具体的には抗体H鎖可変領域を含む1つのポリペプチド鎖およびL鎖可変領域を含む1つのポリペプチド鎖からなる複合体を2つ有する蛋白質複合体を言う。F(ab')₂は抗原結合部が2つある二価抗体であり、典型的には抗体をpH 4付近でペプシンにより消化して得られ、H鎖のヒンジ領域を有している。しかし本発明においてF(ab')₂は、他のプロテアーゼまたは薬剤により切断されたもの、あるいは人工的に設計したものであってよい。ペプチド鎖の結合は、ジスルフィド結合であってもよく、他の結合であってもよい。イムノグロブリンのクラスは限定されず、IgGおよびIgMなどを含む全てのクラスが含まれる。

【0028】

scFvとは、抗体H鎖可変領域およびL鎖可変領域が一本のポリペプチド鎖に含まれているポリペプチドを言う。H鎖可変領域およびL鎖可変領域は適当な長さのスペーサーを介して連結されており、互いに結合して抗原結合部を形成する。

【0029】

ベクターに搭載する外来遺伝子の発現レベルは、その遺伝子上流（ネガティブ鎖の3'側）に付加する転写開始配列の種類により調節することができる（W001/18223）。また、ゲノム上の外来遺伝子の挿入位置によって制御することができ、ネガティブ鎖の3'の近くに挿入するほど発現レベルが高く、5'の近くに挿入するほど発現レベルが低くなる。このように、外来遺伝子の挿入位置は、該遺伝子の所望の発現量を得るために、また前後のウイルス蛋白質をコードする遺伝子との組み合わせが最適となる様に適宜調節することができる。一般に、抗体断片の高い発現が得られることが有利と考えられるため、抗体をコードする外来遺伝子は、効率の高い転写開始配列に連結し、ネガティブ鎖ゲノムの3'端近くに挿入することが好ましい。具体的には、3'リーダー領域と3'に最も近いウイルス蛋白質ORFとの間に挿入される。あるいは、3'に一番近いウイルス遺伝子と2番目の遺伝

子のORFの間に挿入してもよい。野生型パラミクソウイルスにおいては、ゲノムの3'に最も近いウイルス蛋白質遺伝子はN遺伝子であり、2番目の遺伝子はP遺伝子である。逆に、導入遺伝子の高発現が望ましくない場合は、例えばベクターにおける外来遺伝子の挿入位置をネガティブ鎖のなるべく5'側に設定したり、転写開始配列を効率の低いものにするなどして、ウィルスベクターからの発現レベルを低く抑えることで適切な効果が得られるようにすることも可能である。

【0030】

H鎖可変領域を含むポリペプチドおよびL鎖可変領域を含むポリペプチドの2本のポリペプチドをベクターから発現させる場合は、それぞれのポリペプチドをコードする核酸をベクターのゲノムに挿入する。2つの核酸はE-I-S配列を介してタンデムに並べることが好ましい。S配列は転写開始効率の高い配列を用いることが好ましく、例えば5'-CTTTCACCCT-3'（ネガティブ鎖、配列番号：1）を好適に用いることができる。

【0031】

本発明のベクターは、このように抗体断片をコードする遺伝子を挿入した以外の位置に他の外来遺伝子を保持していてもよい。このような外来遺伝子としては制限はない。例えばベクターの感染をモニターするためのマーカー遺伝子であってもよく、あるいは免疫系を調節するサイトカイン、ホルモン、その他の遺伝子であってもよい。本発明のベクターは、生体における標的部位への直接（*in vivo*）投与、および患者由来細胞またはそれ以外の細胞に本発明のベクターを導入し、その細胞を標的部位へ注入する間接（*ex vivo*）投与により遺伝子を導入することができる。

【0032】

本発明のベクターに搭載される抗体は、宿主の可溶性蛋白質、膜蛋白質、構造蛋白質、酵素などに対する抗体であってよい。好ましくは、シグナル伝達に関与する分泌性蛋白質、その受容体、または細胞内シグナル伝達分子などに対する抗体が挙げられる。特に疾患または傷害に対して治療効果を有する抗体が好ましい。抗体遺伝子を搭載した遺伝子導入ベクターについて、幾つかの報告がなされている。そのほとんどは、ベクターのターゲッティング（*targeting*）を目的とし

たものである。例えばレトロウイルス (Somia, N.V. et al., Proc. Natl. Acad. Sci. USA 92(16) 7570-7574 (1995); Marin, M. et al., J. Virol. 70(5) 2957-2962 (1996); Chu, T.H. & Dornburg, R., J. Virol. 71(1) 720-725 (1997); Ager, S. et al., Hum. Gene Ther. 7(17) 2157-2167 (1997); Jiang, A. et al., J. Virol. 72(12) 10148-10156 (1998); Jiang, A. & Durnburg, R. Gene Ther. 6(12) 1982-1987 (1999); Kuroki, M. et al., Anticancer Res. 20(6A) 4067-4071 (2000); Pizzato, M. et al., Gene Ther. 8(14) 1088-1096 (2001); Khare, P.D. et al., Cancer Res. 61(1) 370-375 (2001))、アデノウイルス (Douglas, J.T. et al., Nat. Biotechnol. 14(11) 1574-1578 (1996); Curiel, D.T. Ann. NY Acad. Sci. 886 158-171 (1999); Haisma, H.J. et al., Cancer Gene Ther. 7(6) 901-904 (2000); Yoon, S.K. et al., Biochem Biophys. Res. Commun. 272(2) 497-504 (2000); Kashentseva, E.A. et al., Cancer Res. 62(2) 609-616 (2002))、アデノ随伴ウイルス (AAV) (Bartlett, J.S. et al., Nat. Biotechnol. 17(4) 393 (1999))、MVA (Paul, S. et al., Hum. Gene Ther. 11(10) 1417-1428 (2000))、及び麻疹ウイルス (Hammond, A.L. J. Virol. 75(5) 2087-2096 (2001)) 等でターゲッティングを目的として抗体遺伝子を搭載した遺伝子導入ベクターの実施例が報告されている。ほとんどのケースで single-chain antibody (scFv) を利用しており、また癌細胞へのターゲッティング例が多い。本発明のベクターを利用して、これらの抗体をエンベロープ表面に持つパラミクソウイルスを作製すれば、特定の細胞に感染するターゲッティングベクターを構築することも可能である。例えば interleukin(IL)-6 または fibroblast growth factor (FGF) などの炎症性サイトカインに対する抗体遺伝子を搭載させることで、本発明のベクターを慢性関節リウマチ (RA) などの自己免疫疾患および癌などのターゲッティングベクターとして使用することができる。自殺遺伝子または癌ワクチン蛋白質を発現するこれらのターゲッティングベクターを用いた癌治療への応用が期待される。

【 0 0 3 3 】

しかしながら本発明のベクターは、上記のようなターゲッティング以外の用途へ適用することができる点でも優れている。例えば本発明は、疾患または傷害に

対して治療効果を有する抗体をコードするパラミクソウイルスベクターを提供する。これまでに、例えばアデノウイルスベクターに抗erbB-2のscFv遺伝子をintrabody (細胞内で機能する抗体) として搭載し、癌治療を目的とした例 (Kim, M. et al., Hum. Gene Ther. 8(2) 157-170 (1997); Deshane, J. et al., Gynecol. Oncol. 64(3) 378-385 (1997)) について臨床研究が行われている (Alvarez, R.D. & Curiel, D.T. Hum. Gene Ther. 8(2) 229-242 (1997); Alvarez, R.D. et al., Clin. Cancer Res. 6(8) 3081-3087 (2000))。同様の癌治療へ向けたアデノウイルスベクターのscFv遺伝子に関しては、同じ抗erbB-2をintrabodyではなく分泌型で検討した例 (Arafat, W.O. et al., Gene Ther. 9(4) 256-262 (2002))、抗4-1BB (T cell activation molecule) で検討した例 (Hellstrom, Y. Z. et al., Nat. Med. 8(4) 343-348 (2002))、及び抗CEA (carcino-embryonic antigen) で検討した例 (Whittington, H.A. et al., Gene Ther. 5(6) 770-777 (1998)) 等が報告されている。これらは主にscFvを利用したものである。本発明のベクターを利用して、これらの抗体をコードするパラミクソウイルスを作製すれば、インビボで投与できる治療用ウイルスベクターとして有用である。本発明のベクターは宿主染色体に組み込まれないため安全であり、通常、搭載遺伝子を数日～数週間以上にわたって発現可能であるため、種々の疾患または傷害の治療のために適用される。また本発明のベクターは、上記のようなscFvのみならず、Fab、F(ab')₂、または full body (全長) といった多量体を発現させるためにH鎖とL鎖の両鎖の遺伝子を搭載でき、これにより複数の鎖を含む抗体複合体を産生することができる点で極めて優れている。Fabまたは抗体のfull body (全長) などを構成するH鎖およびL鎖またはそれらの断片をコードするベクターは、scFvを発現するベクターよりも高い治療効果を期待することができる。

【0034】

本発明のベクターは、上記に例示したような癌に対する適用以外にも、さまざまな用途が想定される。例えば癌以外の疾患に対しては、HIVの治療を目的として、抗REV、抗gp120或いは抗integraseをターゲットにして、レトロウイルスベクター (Ho, W.Z. et al., AIDS Res. Hum. Retroviruss 14(17) 1573-1580 (1998))、AAVベクター (Inouye, R.T. et al., J. Virol. 71(5) 4071-4078 (1997))

))、SV40 (BouHamdan, M. et al., Gene Ther. 6(4) 660-666 (1999)) 或いはプラスミド (Chen, S.Y. et al., Hum. Gene Ther. 5(5) 595-601 (1994)) での検討が報告されている。上記例は全て scFv を利用している。他の感染症に対しても、抗狂犬病ウイルス (rabies virus) 抗体の full body を狂犬病ウイルスのワクチン株に搭載した例 (Morimoto, K. et al., J. Immunol. Methods 252(1-2) 199-206 (2001))、及び抗シンドビスウイルス (Sindbis virus) 抗体の full body を H鎖と L鎖を別個のシンドビスウイルスに搭載した例 (Liang, X.H. Mol. Immunol. 34(12-13) 907-917 (1997)) が報告されている。後者 2 例に関しては、抗体の full body をウイルスベクターに搭載し、活性型として大量に分泌することに成功している。但し、両報告は共にモノクローナル抗体の生産系に関するものであり、感染症治療のために直接ベクターを投与することに関しては全く想定されていない。安全性等の観点からも、実際に治療用として投与して in vivo (臨床応用) で局所的に高発現させることは期待できない。これに対して本発明のベクターは、抗体の製造における使用、および遺伝子治療における使用の両面で好適に使用できる点でも優れている。本発明のベクターは、特にヒトに対して病原性がないことから、ヒトを対象とする安全性の高い遺伝子治療用の抗体遺伝子搭載ベクターとして高い有用性を持っている。本発明のベクターを治療用として局所投与すれば、in vivo (臨床応用) での局所的な高発現を期待できる。

【 0 0 3 5 】

特に本発明のベクターから発現させるのに有用な抗体は、細胞内外のシグナル伝達に参与する分子に対する抗体である。中でも、神経の生存、分化、または神経突起伸長 (axonal elongation) を抑制するリガンドまたは受容体に対する抗体は、本発明において好適に適用される。このようなシグナル分子としては、NGF などの神経伸長阻害因子が挙げられる。神経伸長阻害因子に対する抗体を発現するベクターは、神経損傷に対する新しい遺伝子治療を可能にする。

【 0 0 3 6 】

多くの組織は損傷後も自己再生能力を有しており、神経系でも末梢神経は切断或いは坐滅等の損傷後も、軸索が進展し再生可能である。しかしながら、脳や脊髄等の中枢神経系の神経細胞は、損傷後の軸索の進展は観察されず、再生能を有

さない (Ramon y Cajal S, New York: Hafner (1928); Schwab, M.E. and Bartholdi, D. *Physiol. Rev.* 76, 319-370 (1996))。しかし、中枢神経系の神経細胞でも末梢に移植すると軸索の進展が生じることが示されたことから (David, S. and Aguayo, A.J. *Science* 214, 931-933 (1981))、中枢神経系の神経細胞も元来は軸索の再生能を有しているが、中枢神経系の環境が軸索の進展を阻害している、則ち中枢神経系には神経細胞の再生 (軸索の進展) を阻害する因子が存在すると予想された。

【 0 0 3 7 】

そして実際に、その一つとしてNOGOが同定された (Prinjha, R. et al., *Nature* 403, 383-384 (2000); Chen, M.S. et al., *Nature* 403, 434-439 (2000); GrandPre, T. et al., *Nature* 403, 439-444 (2000))。NOGOはNogo-A (Ac.No. AJ242961), Nogo-B (Ac.No. AJ242962) 及びNogo-C (Ac.No. AJ242963) の3つのisoformが知られておりsplice variantsであると予想されている。軸索進展阻害活性は最も大きなNogo-A (分子量約250kDa) が強いが、活性部位は、3種全てに共通に存在している66アミノ酸の細胞外ドメインであると予想されている (GrandPre, T. et al., *Nature* 403, 439-444 (2000))。このNOGOに対するモノクローナル抗体としてIN-1が知られており、オリゴデンドロサイト及びミエリンによる軸索進展の阻害をin vitroで中和すると報告されており (Caroni, P. and Schwab, M.E. *Neuron* 1, 85-96 (1988))、更には、機械的に脊髄損傷を生じさせるラットのin vivoモデルにおいて、損傷部位にIN-1を投与することにより、5%の軸索が損傷部位を越えて進展し、著しい機能回復が達成されたことが報告されている (Bregman, B.S. et al., *Nature* 378, 498-501 (1995))。このように、中枢神経において軸索進展阻害活性を有する因子に対する中和抗体は、中枢神経系の神経細胞再生に有効な可能性が高い。NOGO以外に類似活性 (軸索進展阻害活性) を有する因子としては、Semaphorin、efferin及びSlit等が知られており (Chrisholm, A. and Tessier-Lavigne, M. *Curr. Opin. Neurobiol.* 9, 603-615 (1999))、それぞれの役割が異なるにせよ、これらの因子に対する抗体は、再生しないと言われていた中枢神経においても軸索の進展を可能にし、IN-1で示されている脊髄損傷に限らず、種々の神経変性疾患に応用出来る可能性を有してい

る。また、因子間での役割が明らかになるに従って、それぞれの神経変性疾患により適合するリガンドが選択され、その因子に対する抗体が特定の神経変性疾患に利用されるようになるかも知れない。

【0038】

例えば、これらの抗体遺伝子を搭載したパラミクソウイルスベクターについて脊髄損傷への治療応用を想定した場合、ベクターを損傷部位へ直接投与する方法が可能である。また当該ベクターは発現量が非常に高いことから、損傷部位近傍の脊髄腔内への投与も可能であると予想される。また、損傷を受け軸索が変性した後に、再生のフェーズになるまでには数日間が必要であることから、投与を判断するまでの時間的余裕もあると考えられ、更には損傷直後は変性に伴う炎症反応が盛んに生じることから、実際には損傷数日後、具体的には3日～10日後に投与する可能性が高い。また、当該の軸索進展阻害活性を有する因子に対する中和抗体遺伝子のみではなく、積極的に軸索進展を促進する因子の遺伝子を搭載したベクター、蛋白或いは類似活性を有する化合物との併用を想定することもできる。軸索進展を促進する因子としては、glial cell-derived neurotrophic factor (GDNF) 等の神経栄養因子を挙げることができる。

【0039】

また本発明は、免疫反応を抑制する抗体の可変領域を含むポリペプチドをコードするパラミクソウイルスベクターに関する。本発明者らは、免疫反応を抑制する抗体遺伝子を搭載することで、ベクター自身が有する免疫原的な性質を減弱することが可能であることを見出した。例えば免疫細胞の補助刺激因子に対する抗体またはその受容体に対する抗体を発現するベクターを用いて、補助刺激因子によるシグナル伝達を抑制することにより免疫系活性化を抑制し、ベクターからの搭載遺伝子の長期発現が可能となる。このような改変ベクターは、生体への遺伝子導入用ベクターとして特に有用である。抗体により阻害する対象となる分子としては、免疫活性化シグナルを伝達する所望のシグナル分子が挙げられ、増殖因子またはサイトカインなどの液性因子または受容体であってよい。

【0040】

ウイルスに対する生体防御機構は複雑で何重にも防御されていることが知られ

ている。このことは生体防御という観点からはなくてはならない重要なシステムであるが、ウィルスベクターを利用した遺伝子治療という観点からは回避したい項目である。その一つが、RNAウィルスの感染依存的に生成する二本鎖RNAにより活性化されると言われているInterferon regulatory factor 3 (IRF-3: Lin, R. et al., Mol. Cell. Biol. 18(5) 2986-2996 (1998); Heylbroeck, C. et al., J. Virol. 74(8) 3781-3792 (2000)) 及びdouble-stranded RNA-activated protein kinase (PKR: Der, S.D. & Lau, A.S. Proc. Natl. Acad. Sci. U.S.A. 92, 8841-8845 (1995); Dejucq, N. et al., J. Cell. Biol. 139(4) 865-873 (1997)) 等の活性化であり、その下流の転写因子を活性化しInterferon (IFN) 等の発現を亢進する。例えば、intrabodyのような細胞内で機能する形で、IRF-3或いはPKRの活性を抑制する抗体をベクターに搭載すれば、自然免疫反応の一部を抑制し感染の持続化による搭載遺伝子の持続的発現が出来る可能性がある。実際に、PKRのantisenseを高発現しPKR活性を抑制した細胞においては、少なくともin vitroレベルでのencephalomyocarditis virusの持続的感染が生じることが示されている (Yeung, M.C. et al., Proc. Natl. Acad. Sci. U.S.A. 96(21) 11860-11865 (1999))。また、Toll-like receptor (TLR) ファミリーの中の、TLR-3がdouble-stranded RNAを認識してウィルス感染による自然免疫を発動することが示されており (Alexopoulou, L. et al., Nature 413, 732-738 (2001))、TLR-4もrespiratory syncytial virus感染による同作用への関わりが示されている (Haynes, L.M. et al., J. Virol. 75(22) 10730-10737 (2001))。これらTLR-3或いはTLR-4に対する中和抗体もウィルスベクターによる持続発現に寄与する可能性がある。

【0041】

同様に、ウィルスベクターの免疫原的な性質を減弱することを目的として、臓器移植で試みられている方法を応用することも可能である。則ち、末梢性の免疫寛容を目的とした抗体遺伝子の搭載である。T細胞の活性化に関して次のようなモデルが提唱されている (Schwartz, R.H. et al., Cold Spring Harb. Symp. Quant. Biol. 2, 605-610 (1989))。休止期のT細胞の活性化にはT細胞受容体(TCR)、抗原、及び組織適合性抗原(MHC)に由来するシグナルに加えて、第二のシグ

ナルであるコスティミュラトリーシグナル (co-stimulatory signal ; 補助刺激) が必要であり、第二のシグナルが欠如した状態で抗原刺激が起きるとT細胞の不活化から寛容が誘導されるというものである。もし、この様式でウィルスベクター感染細胞の免疫寛容が誘導されれば、他への免疫反応を抑制することなく、ウィルスベクターに対してのみ免疫反応を回避することが出来るようになり、理想的な手法となり得る。T細胞上の補助刺激因子としてCD28 (Ac. No. J02988, AF222341, AF222342, AF222343) が同定されており、抗原提示細胞上のCD80 (Ac. No. NM_005191) , CD86 (Ac. No. U04343, NM_006889) と相互作用することによりTCRからの刺激を増幅させ、IL-2などの産生によりT細胞を更に活性化する。一方、CTLA-4 (cytotoxic T lymphocyte antigen 4 : CD152) (Ac. No. L15006) はCD28と共通のリガンド (CD80, CD86) に高親和性で結合し、T細胞を抑制する作用がある (Walunas, T.L. et al., Immunity1(5) 405-413 (1994))。また、T細胞上のLymphocyte Function-associated Antigen-1 (LFA-1) (Ac. No. Y00057) は抗原提示細胞上のInter Cellular Adhesion Molecule-1 (ICAM-1 : CD54) (Ac. No. J03132, X06990) と結合し、同様に補助刺激に関わっていると言われている。以上の観点から、CD28を抑制する抗体及びCTLA-4の活性をmimicする抗体遺伝子、および/またはLFA-1とICAM-1間の結合を阻害する抗体遺伝子を搭載したウィルスベクターは、感染細胞における末梢性免疫寛容を獲得し、長期の遺伝子発現または複数回投与を達成する可能性があると予想される。実際に、臓器移植の場合の検討において、該当する抗体の短期投与によって寛容が誘導出来ることが示されている。例えば、補助刺激因子であるCD28の結合を阻害する抗CD28抗体を利用した効果 (Yu, X.Z. et al., J. Immunol. 164(9) 4564-4568 (2000) ; Laskowski, I.A. et al., J. Am. Soc. Nephrol. 13(2) 519-527 (2002))、逆にT細胞活性化に対して抑制的に機能するCTLA-4そのものをIgG1 Fcに結合した蛋白 (CTLA4-Ig) を利用した効果 (Pearson, T.C. et al., Transplantation 57(12) 1701-1706 (1994; Blazzer, B.R. et al., Blood 85(9) 2607-2618 (1995) ; Hakim, F.T. et al., J. Immunol. 155(4) 1757-1766 (1995); Gainer, A.L. et al., Transplantation 63(7) 1017-1021 (1997); Kirk, A.D. et al., Proc. Natl. Acad. Sci. U.S.A. 94(16) 8789-8794 (1997); Comoli, P. et al., Bon

e Marrow Transplant 27(12) 1263-1273 (2001)), LFA-1とICAM-1間の結合を阻害する抗体を利用した効果 (Heagy, W. et al., Transplantation 37(5) 520-523 (1984); Fischer, A. et al., Blood 77(2) 249-256 (1991); Guerette, B. et al., J. Immunol. 159(5) 2522-2531 (1997); Nicolls, M.R. et al., J Immunol. 164(7) 3627-3634 (2000); Poston, R.S. et al., Transplantation 69(10) 2005-2013 (2000); Morikawa, M. et al., Transplantation 71(11) 1616-1621 (2001); Da Silva, M. et al., J. Urol. 166(5) 1915-1919 (2001)) 等多くの報告がなされている。更には、CD28やCTLA4と構造的・機能的な類似性があり最近同定されたinducible costimulator (ICOS: Wallin, J.J. et al., J. Immunol. 167(1) 132-139 (2001); Sperling, A.I. & Bluestone, J.A. Nat. Immunol. 2(7) 573-574 (2001); Ozkaynak, E. et al., Nat. Immunol. 2(7) 591-596 (2001); Ac. No. AJ277832) についても同様の検討がなされており、抗ICOS抗体での効果が確認されている (Ogawa, S. et al., J. Immunol. 167(10) 5741-5748 (2001); Guo, L. et al., Transplantation 73(7) 1027-1032 (2002))。ウィルスベクターを利用した方法においても報告があり、臓器移植の時にCTLA4-Ig遺伝子搭載アデノウィルスベクターの応用検討がなされている (Pearson, T.C. et al., Transplantation 57(12) 1701-1706 (1994); Li, T.S. et al., Transplantation 72(12) 1983-1985 (2001))。

【 0 0 4 2 】

以上のような臓器移植の場面での末梢性免疫寛容を目的とした手法は、遺伝子導入用ウィルスベクター利用時においても、免疫寛容を誘導する有効な手法としてそのまま応用することが可能であり、該当する抗体遺伝子（或いはCTLA4-Ig）の搭載によって長期遺伝子発現或いは繰返し投与を実現することができる。この観点ではアデノウィルスベクターについて報告がなされており、CTLA4-Ig遺伝子を搭載したアデノウィルスベクターを、別のマーカー遺伝子（lacZ）を搭載したベクターと同時に投与することで、免疫反応が抑制され、マーカー遺伝子の発現が延長されることが示されている (Ali, R.R. et al., Gene Ther. 5(11) 1561-1565 (1998); Ideguchi, M. et al., Neuroscience 95(1) 217-226 (2000); Uchida, T. et al., Brain Res. 898(2) 272-280 (2001))。この系では唯一、CTLA

4-Ig遺伝子を用いており、マーカー遺伝子は別のベクターへ搭載した単純な系での検討であり、同じベクターに搭載した例、他の補助刺激因子を抗体遺伝子で抑制した例、また特にパラミクソウイルスベクターでの効果を見た例は無く、詳細な検討はなされていない。本発明においては、CTLA4-Ig遺伝子以外の、上記のような種々のシグナル分子に対する抗体遺伝子を用いてよく、さらに免疫寛容を誘導する抗体遺伝子と治療遺伝子（またはマーカー遺伝子）などの複数の遺伝子を単一ベクターから発現させることが可能である。特にT細胞活性化の補助刺激因子の作用を抑制する抗体遺伝子を用いることにより、例えば投与部位局所の免疫系に局限して作用する長期遺伝子発現および繰り返し（複数回）投与が可能なベクターを構築することができる。

【 0 0 4 3 】

これらの因子または受容体に対する抗体遺伝子を搭載したパラミクソウイルスベクターは、さらに治療用遺伝子を搭載させ治療用ベクターとして用いられる。あるいは、治療遺伝子を搭載した別のベクターとともに投与することにより、治療遺伝子の長期発現および／または繰り返し投与を可能にする。疾患としては遺伝子治療の対象となりうる任意の疾患が挙げられる。ベクターの投与方法などについては、それぞれの治療用遺伝子を用いた遺伝子治療に則った治療方法を適用すればよい。

【 0 0 4 4 】

本発明のベクターを製造するには、哺乳動物細胞においてパラミクソウイルスのゲノムRNAを含むRNPの再構成に必要なウイルス蛋白質、すなわちN、P、およびL蛋白質の存在下、本発明のパラミクソウイルスのゲノムRNAをコードするcDNAを転写させる。転写によりネガティブ鎖ゲノム（すなわちウイルスゲノムと同じアンチセンス鎖）を生成させてもよく、あるいはポジティブ鎖（ウイルス蛋白質をコードするセンス鎖）を生成させても、ウイルスRNPを再構成することができる。ベクターの再構成効率を高めるには、好ましくはポジティブ鎖を生成させる。RNA末端は、天然のウイルスゲノムと同様に3' リーダー配列と5' トレイラー配列の末端をなるべく正確に反映させることが好ましい。転写産物の5' 端を正確に制御するためには、例えば転写開始部位としてT7 RNAポリメラーゼ認識配列を利用

し、該RNAポリメラーゼを細胞内で発現させればよい。転写産物の3'端を制御するには、例えば転写産物の3'端に自己切断型リボザイムをコードさせておき、このリボザイムにより正確に3'端が切り出されるようにすることができる (Hasan, M. K. et al., J. Gen. Virol. 78: 2813-2820, 1997, Kato, A. et al., 1997, EMBO J. 16: 578-587 及び Yu, D. et al., 1997, Genes Cells 2: 457-466)。

【0045】

例えば外来遺伝子を有する組み換えセンダイウイルスベクターは、Hasan, M. K. et al., J. Gen. Virol. 78: 2813-2820, 1997, Kato, A. et al., 1997, EMBO J. 16: 578-587 及び Yu, D. et al., 1997, Genes Cells 2: 457-466の記載等に準じて、次のようにして構築することができる。

まず、目的の外来遺伝子のcDNA塩基配列を含むDNA試料を用意する。DNA試料は、25ng/ μ l以上の濃度で電気泳動的に単一のプラスミドと確認できることが好ましい。以下、NotI部位を利用してウイルスゲノムRNAをコードするDNAに外来遺伝子を挿入する場合を例にとって説明する。目的とするcDNA塩基配列の中にNotI認識部位が含まれる場合は、部位特異的変異導入法などを用いて、コードするアミノ酸配列を変化させないように塩基配列を改変し、NotI部位を予め除去しておくことが好ましい。この試料から目的の遺伝子断片をPCRにより増幅し回収する。2つのプライマーの5'部分にNotI部位を付加しておくことにより、増幅された断片の両端をNotI部位とする。ウイルスゲノム上に挿入された後の外来遺伝子のORFとその両側のウイルス遺伝子のORFとの間にE-I-S配列が配置されるように、プライマー中にE-I-S配列またはその部分を含めるようにする。

【0046】

例えば、フォワード側合成DNA配列は、NotIによる切断を保証するために5'側に任意の2以上のヌクレオチド（好ましくはGCGおよびGCCなどのNotI認識部位由来の配列が含まれない4塩基、更に好ましくはACTT）を選択し、その3'側にNotI認識部位gcggccgcを付加し、さらにその3'側にスペーサー配列として任意の9塩基または9に6の倍数を加えた数の塩基を付加し、さらにその3'側に所望のcDNAの開始コドンATGからこれを含めてORFの約25塩基相当の配列を付加した形態とす

る。最後の塩基はGまたはCとなるように該所望のcDNAから約25塩基を選択してフォワード側合成オリゴDNAの3'の末端とすることが好ましい。

【0047】

リバーズ側合成DNA配列は5'側から任意の2以上のヌクレオチド（好ましくはGCGおよびGCCなどのNotI認識部位由来の配列が含まれない4塩基、更に好ましくはACTT）を選択し、その3'側にNotI認識部位gcggccgcを付加し、さらにその3'側に長さを調節するための挿入断片のオリゴDNAを付加する。このオリゴDNAの長さは、最終的なPCR増幅産物のNotI断片の鎖長が6の倍数になるように塩基数を設計する（いわゆる「6のルール (rule of six)」；Kolakofski, D. et al., J. Virol. 72:891-899, 1998; Calain, P. and Roux, L., J. Virol. 67:4822-4830, 1993; Calain, P. and Roux, L., J. Virol. 67: 4822-4830, 1993）。このプライマーにE-I-S配列を付加する場合には、挿入断片のオリゴDNAの3'側にセンダイウィルスのS配列の相補鎖配列、好ましくは5'-CTTTCACCCT-3'（配列番号：1）、I配列、好ましくは5'-AAG-3'、E配列の相補鎖配列、好ましくは5'-TTTTTC TTACTACGG-3'（配列番号：2）、さらにその3'側に所望のcDNA配列の終始コドンから逆に数えて約25塩基相当の相補鎖の最後の塩基がGまたはCになるように長さを選擇して配列を付加し、リバーズ側合成DNAの3'の末端とする。

【0048】

PCRは、Taqポリメラーゼまたはその他のDNAポリメラーゼを用いる通常の方法を用いることができる。増幅した目的断片はNotIで消化した後、pBluescript等のプラスミドベクターのNotI部位に挿入する。得られたPCR産物の塩基配列をシーケンサーで確認し、正しい配列のプラスミドを選択する。このプラスミドから挿入断片をNotIで切り出し、ゲノムcDNAを含むプラスミドのNotI部位にクローニングする。またプラスミドベクターを介さずにNotI部位に直接挿入し、組み換えセンダイウィルスcDNAを得ることも可能である。

【0049】

例えば、組み換えセンダイウィルスゲノムcDNAであれば、文献記載の方法に準じて構築することができる（Yu, D. et al., Genes Cells 2: 457-466, 1997; Hasan, M. K. et al., J. Gen. Virol. 78: 2813-2820, 1997）。例えば、NotI制

限部位を有する18bpのスペーサー配列 (5'-(G)-CGGCCGCAGATCTTCACG-3') (配列番号: 3) を、クローニングされたセンダイウイルスゲノムcDNA (pSeV(+)) のリーダー配列とN蛋白質のORFとの間に挿入し、デルタ肝炎ウイルスのアンチゲノム鎖 (antigenomic strand) 由来の自己開裂リボザイム部位を含むプラスミド pSeV18⁺b(+) を得る (Hasan, M. K. et al., 1997, J. General Virology 78: 2813-2820)。pSeV18⁺b(+) のNotI部位に外来遺伝子断片を挿入し、所望の外来遺伝子が組み込まれた組み換えセンダイウイルスcDNAを得ることができる。

【0050】

このようにして作製した組み換えパラミクソウイルスのゲノムRNAをコードするDNAを、上記のウイルス蛋白質 (L、P、およびN) 存在下で細胞内で転写させることにより、本発明のベクターを再構成することができる。本発明は、本発明のベクターの製造のための、本発明のベクターのウイルスゲノムRNAをコードするDNAを提供する。また本発明は、本発明のベクターの製造に適用するための、該ベクターのゲノムRNAをコードするDNAの使用に関する。組み換えウイルスの再構成は公知の方法を利用して行うことができる (W097/16539; W097/16538; Durbin, A. P. et al., 1997, Virology 235: 323-332; Whelan, S. P. et al., 1995, Proc. Natl. Acad. Sci. USA 92: 8388-8392; Schnell, M. J. et al., 1994, EMBO J. 13: 4195-4203; Radecke, F. et al., 1995, EMBO J. 14: 5773-5784; Lawson, N. D. et al., Proc. Natl. Acad. Sci. USA 92: 4477-4481; Garcin, D. et al., 1995, EMBO J. 14: 6087-6094; Kato, A. et al., 1996, Genes Cells 1: 569-579; Baron, M. D. and Barrett, T., 1997, J. Virol. 71: 1265-1271; Bridgen, A. and Elliott, R. M., 1996, Proc. Natl. Acad. Sci. USA 93: 15400-15404)。これらの方法により、パラインフルエンザ、水痘性口内炎ウイルス、狂犬病ウイルス、麻疹ウイルス、リンダーペストウイルス、センダイウイルスなどを含むマイナス鎖RNAウイルスをDNAから再構成させることができる。これらの方法に準じて、本発明のベクターを再構成させることができる。ウイルスベクターDNAにおいて、F遺伝子、HN遺伝子、および/またはM遺伝子を欠失させた場合には、そのままでは感染性のウイルス粒子を形成しないが、宿主細胞に、これら欠失させた遺伝子および/または他のウイルスのエンベロープ蛋白質をコード

する遺伝子などを別途、細胞に導入し発現させることにより、感染性のウイルス粒子を形成させることが可能である。

【0051】

具体的な手順は、(a) パラミクソウイルスゲノムRNA (ネガティブ鎖RNA) またはその相補鎖 (ポジティブ鎖) をコードするcDNAを、N、P、およびL蛋白質を発現する細胞で転写させる工程、(b) 該細胞またはその培養上清から該ゲノムRNAを含む複合体を回収する工程、により製造することができる。転写のために、ゲノムRNAをコードするDNAは適当なプロモーターの下流に連結される。転写されたゲノムRNAは N、L、およびP蛋白質の存在下で複製されRNP複合体を形成する。そして M、HN、およびF蛋白質の存在下でエンベロープに包まれたウイルス粒子が形成される。ゲノムRNAをコードするDNAは、例えばT7プロモーターの下流に連結させ、T7 RNA ポリメラーゼによりRNAに転写させる。プロモーターとしては、T7ポリメラーゼの認識配列を含むもの以外にも所望のプロモーターを利用することができる。あるいは、インビトロで転写させたRNAを細胞にトランスフェクトしてもよい。

【0052】

DNAからのゲノムRNAの最初の転写に必要なT7 RNAポリメラーゼ等の酵素は、これを発現するプラスミドやウイルスベクターの導入によって供給することができるし、または、例えば細胞の染色体にこの遺伝子を、発現を誘導できるように組み込んでおき、ウイルス再構成時に発現を誘導することにより供給することもできる。またゲノムRNA、およびベクター再構成に必要なウイルス蛋白質は、例えばこれらを発現するプラスミドの導入によって供給する。これらのウイルス蛋白質の供給において、野生型またはある種の変異パラミクソウイルスなどのヘルパーウイルスを用いることもできるが、これらのウイルスの混入を招くため好ましくない。

【0053】

ゲノムRNAを発現するDNAを細胞内に導入する方法には、例えば次のような方法、①目的の細胞が取り込めるようなDNA沈殿物を作る方法、②目的の細胞による取りこみに適し、かつ細胞毒性の少ない陽電荷特性を持つDNAを含む複合体を作

る方法、③目的の細胞膜に、DNA分子が通り抜けられるだけに十分な穴を電気パルスによって瞬間的に開ける方法などがある。

【0054】

②としては、種々のトランスフェクション試薬が利用できる。例えば、DOTMA (Roche)、Superfect (QIAGEN #301305)、DOTAP、DOPE、DOSPER (Roche #1811169) などが挙げられる。①としては例えばリン酸カルシウムを用いたトランスフェクション法が挙げられ、この方法によって細胞内に入ったDNAは貧食小胞に取り込まれるが、核内にも十分な量のDNAが入ることが知られている (Graham, F. L. and Van Der Eb, J., 1973, Virology 52: 456; Wigler, M. and Silverstein, S., 1977, Cell 11: 223)。ChenおよびOkayamaはトランスファー技術の最適化を検討し、1) 細胞と共沈殿物のインキュベーション条件を 2~4% CO₂、35℃、15~24時間、2) DNAは直鎖状より環状のものが活性が高く、3) 沈殿混液中のDNA濃度が 20~30 μg/mlのとき最適な沈殿が得られると報告している (Chen, C. and Okayama, H., 1987, Mol. Cell. Biol. 7: 2745)。②の方法は、一過的なトランスフェクションに適している。古くはDEAE-デキストラン (Sigma #D-9885 M.W. 5×10⁵) 混液を所望のDNA濃度比で調製し、トランスフェクションを行う方法が知られている。複合体の多くはエンドソームの中で分解されてしまうため、効果を高めるためにクロロキンを加えることもできる (Calos, M. P., 1983, Proc. Natl. Acad. Sci. USA 80: 3015)。③の方法は電気穿孔法と呼ばれる方法で、細胞選択性がないという点で①や②の方法に比べて汎用性が高い。効率 はパルス電流の持続時間、パルスの形、電界 (電極間のギャップ、電圧) の強さ、バッファの導電率、DNA濃度、細胞密度の最適条件下で良いとされている。

【0055】

以上、3つのカテゴリーの中で②の方法は操作が簡便で多量の細胞を用いて多数の検体を検討することができるので、ベクター再構成のためのDNAの細胞への導入には、トランスフェクション試薬が適している。好適には Superfect Transfection Reagent (QIAGEN, Cat No. 301305)、または DOSPER Liposomal Transfection Reagent (Roche, Cat No. 1811169) が用いられるが、これらに制限されない。

【0056】

cDNAからのウイルスの再構成は具体的には例えば以下のようにして行うことができる。

24穴から6穴程度のプラスチックプレートまたは100mmペトリ皿等で、10%ウシ胎児血清(FCS)および抗生物質(100 units/ml ペニシリンGおよび100 μ g/ml ストレプトマイシン)を含む最少必須培地(MEM)を用いてサル腎臓由来細胞株LLC-MK2をほぼ100%コンフルエントになるまで培養し、例えば1 μ g/ml psoralen(ソラレン)存在下 UV照射処理を20分処理で不活化した、T7 RNAポリメラーゼを発現する組換えワクシニアウイルスvTF7-3(Fuerst, T. R. et al., Proc. Natl. Acad. Sci. USA 83: 8122-8126, 1986, Kato, A. et al., Genes Cells 1: 569-579, 1996)を2 PFU/細胞で感染させる。ソラレンの添加量およびUV照射時間は適宜調整することができる。感染1時間後、2~60 μ g、より好ましくは3~20 μ gの組換えセンダイウイルスのゲノムRNAをコードするDNAを、ウイルスRNPの生成に必要なトランスに作用するウイルス蛋白質を発現するプラスミド(0.5~24 μ gのpGEM-N、0.25~12 μ gのpGEM-P、および0.5~24 μ gのpGEM-L)(Kato, A. et al., Genes Cells 1: 569-579, 1996)と共にSuperfect(QIAGEN社)を用いたりポフェクション法等によりトランスフェクションする。N、P、およびLをコードする発現ベクターの量比は2:1:2とすることが好ましく、プラスミド量は、例えば1~4 μ gのpGEM-N、0.5~2 μ gのpGEM-P、および1~4 μ gのpGEM-L程度で適宜調整する。

【0057】

トランスフェクションを行った細胞は、所望により100 μ g/mlのリファンピシン(Sigma)及びシトシンアラビノシド(AraC)、より好ましくは40 μ g/mlのシトシンアラビノシド(AraC)(Sigma)のみを含む血清不含のMEMで培養し、ワクシニアウイルスによる細胞毒性を最少にとどめ、ウイルスの回収率を最大にするように薬剤の最適濃度を設定する(Kato, A. et al., 1996, Genes Cells 1: 569-579)。トランスフェクションから48~72時間程度培養後、細胞を回収し、凍結融解を3回繰り返して細胞を破碎した後、RNPを含む破碎物をLLC-MK2細胞に再度トランスフェクションして培養する。または、培養上清を回収し、LLC-MK2細

胞の培養液に添加して感染させ培養する。トランスフェクションは、例えばポリプレクトアミンやポリカチオニックリポソームなどと共に複合体を形成させて細胞に導入することが可能である。具体的には、種々のトランスフェクション試薬が利用できる。例えば、DOTMA (Roche)、Superfect (QIAGEN #301305)、DOTAP、DOPE、DOSPER (Roche #1811169) などが挙げられる。エンドソーム中での分解を防ぐため、クロロキンを加えることもできる (Calos, M. P., 1983, Proc. Natl. Acad. Sci. USA 80: 3015)。RNPが導入された細胞では、RNPからのウイルス遺伝子の発現およびRNPの複製の過程が進行しベクターが増幅する。得られたウイルス溶液を希釈 (例えば 10^6 倍) して再増幅を繰り返すことにより、ワクシニアウイルスvTF7-3は完全に除去することができる。再増幅は、例えば3回以上繰り返す。得られたベクターは -80°C で保存することができる。エンベロープ蛋白質をコードする遺伝子を欠損した複製能を持たないウイルスベクターを再構成させるには、エンベロープ蛋白質を発現するLLC-MK2細胞をトランスフェクションに使用するか、またはエンベロープ発現プラスミドを共にトランスフェクションすればよい。また、トランスフェクションを行った細胞にエンベロープ蛋白質を発現するLLC-MK2細胞を重ねて培養することによって欠損型ウイルスベクターを増幅することもできる (国際公開番号 W000/70055 および W000/70070参照)。

【 0 0 5 8 】

回収されたウイルスの力価は、例えばCIU (Cell-Infected Unit) 測定または赤血球凝集活性(HA)の測定することにより決定することができる (W000/70070; Kato, A. et al., 1996, Genes Cells 1: 569-579; Yonemitsu, Y. & Kaneda, Y., Hemagglutinating virus of Japan-liposome-mediated gene delivery to vascular cells. Ed. by Baker AH. Molecular Biology of Vascular Diseases. Method in Molecular Medicine: Humana Press: pp. 295-306, 1999)。また、GFP (緑色蛍光蛋白質) などのマーカー遺伝子を搭載したベクターについては、マーカーの指標に直接的に感染細胞をカウントすることにより力価を定量することができる (例えばGFP-CIUとして)。このようにして測定した力価は、CIUと同等に扱うことができる (W000/70070)。

【0059】

ウィルスベクターが再構成する限り、再構成に用いる宿主細胞は特に制限されない。例えば、センダイウィルスベクター等の再構成においては、LLCMK2細胞、サル腎由来のCV-1細胞、ハムスター腎由来のBHK細胞などの培養細胞、ヒト由来細胞等を使うことができる。これらの細胞に適当なエンベロープ蛋白質を発現させることで、そのエンベロープを有する感染性ウィルス粒子を得ることもできる。また、大量にセンダイウィルスベクターを得るために、上記の宿主から得られたウィルスベクターを発育鶏卵に感染させ、該ベクターを増幅することができる。鶏卵を使ったウィルスベクターの製造方法は既に開発されている（中西ら編, (1993), 「神経科学研究の先端技術プロトコールIII, 分子神経細胞生理学」, 厚生社, 大阪, pp.153-172)。具体的には、例えば、受精卵を培養器に入れ9~12日間 37~38℃で培養し、胚を成長させる。ウィルスベクターを尿膜腔へ接種し、数日間（例えば3日間）卵を培養してウィルスベクターを増殖させる。培養期間等の条件は、使用する組み換えセンダイウィルスにより変わり得る。その後、ウィルスを含んだ尿液を回収する。尿液からのセンダイウィルスベクターの分離・精製は常法に従って行うことができる（田代真人, 「ウィルス実験プロトコール」, 永井、石浜監修, メジカルビュー社, pp.68-73, (1995)）。

【0060】

例えば、F蛋白質を欠失したセンダイウィルスベクターの構築と調製は、以下のように行うことができる（国際公開番号 W000/70055 および W000/70070参照）。

<1> F欠失型センダイウィルスゲノムcDNAおよびF発現プラスミドの構築

センダイウィルス (SeV) 全長ゲノムcDNA、pSeV18⁺ b(+) (Hasan, M. K. et al., 1997, J. General Virology 78: 2813-2820) (「pSeV18⁺ b(+)」は「pSeV18⁺」ともいう) のcDNAをSphI/KpnIで消化してフラグメント(14673bp)を回収し、pUC18にクローニングしてプラスミドpUC18/KSとする。F欠損部位の構築はこのpUC18/KS上で行う。F遺伝子の欠損は、PCR-ライゲーション方法の組み合わせで行い、結果としてF遺伝子のORF (ATG-TGA=1698bp) を除いて例えばatgcatgccggcagatga (配列番号: 4) で連結し、F欠失型SeVゲノムcDNA (pSeV18⁺/ΔF) を構

築する。PCRは、Fの上流には [forward: 5'-gttgagtactgcaagagc/配列番号: 5, reverse: 5'-tttgccggcatgcatgtttcccaaggaggagagttttgcaacc/配列番号: 6]、F遺伝子の下流には [forward: 5'-atgcatgccggcagatga/配列番号: 7, reverse: 5'-tgggtgaatgagagaatcagc/配列番号: 8] のプライマー対を用いたPCRの産物をEcoT22Iで連結する。このように得られたプラスミドをSacIとSalIで消化して、F欠損部位を含む領域の断片 (4931bp) を回収してpUC18にクローニングし、pUC18/dFSSとする。このpUC18/dFSSをDraIIIで消化して、断片を回収してpSeV18⁺のF遺伝子を含む領域のDraIII断片と置き換え、ライゲーションしてプラスミドpSeV18⁺/ΔFを得る。

外来遺伝子は、例えばpUC18/dFSSのF欠失部位にある制限酵素 NsiI および NgoMIV 部位に挿入する。このためには、例えば外来遺伝子断片を、NsiI-tailed プライマーおよびNgoMIV-tailedプライマーで増幅すればよい。

【0061】

〈2〉 SeV-F蛋白を誘導発現するヘルパー細胞の作製

センダイウイルスのF遺伝子 (SeV-F) を発現するCre/loxP誘導型発現プラスミドの構築はSeV-F遺伝子をPCRで増幅し、Cre DNAリコンビナーゼにより遺伝子産物を誘導発現されるように設計されたプラスミドpCALNdLw (Arai, T. et al., J. Virology 72, 1998, p1115-1121) のユニークサイト SwaI部位に挿入し、プラスミドpCALNdLw/Fを構築する。

F欠損ゲノムから感染ウイルス粒子を回収するため、SeV-F蛋白を発現するヘルパー細胞株を樹立する。細胞は、例えばSeVの増殖によく用いられているサル腎臓由来細胞株LLC-MK2細胞を用いることができる。LLC-MK2細胞は、10%の熱処理した不活化ウシ胎児血清 (FBS)、ペニシリンGナトリウム 50単位/ml、およびストレプトマイシン 50 μg/mlを添加したMEMで37℃、5% CO₂で培養する。SeV-F遺伝子産物は細胞傷害性を有するため、Cre DNAリコンビナーゼによりF遺伝子産物を誘導発現されるように設計された上記プラスミドpCALNdLw/Fを、リン酸カルシウム法 (mammalian transfection kit (Stratagene)) により、周知のプロトコールに従ってLLC-MK2細胞に遺伝子導入を行う。

10cmプレートを用い、40%コンフルエントまで生育したLLC-MK2細胞に10 μgの

プラスミド pCALNDLw/F を導入後、10ml の 10% FBS を含む MEM 培地にて、37℃ の 5% CO₂ インキュベーター中で 24 時間培養する。24 時間後に細胞をはがし、10ml 培地に懸濁後、10cm シャーレ 5 枚を用い、5ml 1 枚、2ml 2 枚、0.2ml 2 枚に蒔き、G418 (GIBCO-BRL) を 1200 μ g/ml を含む 10ml の 10% FBS を含む MEM 培地にて培養を行い、2 日毎に培地交換しながら、14 日間培養し、遺伝子の安定導入株の選択を行う。該培地により生育してきた G418 に耐性を示す細胞はクローニングリングを用いて回収する。回収した各クローンは 10cm プレートでコンフルエントになるまで拡大培養を続ける。

F 蛋白質の発現誘導は、細胞を 6cm シャーレにてコンフルエントまで生育させた後、アデノウイルス AxCANCre を斉藤らの方法 (Saito et al., Nucl. Acids Res. 23: 3816-3821 (1995); Arai, T. et al., J. Virol 72, 1115-1121 (1998)) により例えば moi=3 で感染させて行う。

【0062】

<3> F 欠失 SeV ウイルスの再構築及び増幅

上記 pSeV18⁺/ΔF の外来遺伝子が挿入されたプラスミドを以下のようにして LC-MK2 細胞にトランスフェクションする。LLC-MK2 細胞を 5×10^6 cells/dish で 100mm のシャーレに播く。T7 RNA ポリメラーゼによりゲノム RNA の転写を行わせる場合には、細胞培養 24 時間後、ソラレン (psoralen) と長波長紫外線 (365nm) で 20 分間処理した T7 RNA ポリメラーゼを発現するリコンビナントワクシニアウイルス (PLWUV-VacT7: Fuerst, T.R. et al., Proc. Natl. Acad. Sci. USA 83, 8122-8126 (1986)) を MOI 2 程度で室温で 1 時間感染させる。ワクシニアウイルスへの紫外線照射には、例えば 15 ワットバルブを 5 本が装備された UV Stratalinker 2400 (カタログ番号 400676 (100V), ストラタジーン社, La Jolla, CA, USA) を用いることができる。細胞を無血清の MEM で洗浄した後、ゲノム RNA を発現するプラスミド、およびパラミクソウイルスのそれぞれ N、P、L、F、および HN 蛋白質を発現する発現プラスミド適当なりポフェクション試薬と用いてこの細胞にトランスフェクトする。プラスミドの量比は、これに限定されないが、好適には順に 6:2:1:2:2:2 とすることができる。例えば、12 μ g のゲノム RNA を発現するプラスミド、並びに N、P、L、および F プラス HN 蛋白質を発現する発現プラ

スミド (pGEM/NP, pGEM/P, pGEM/L及びpGEM/F-HN; W000/70070, Kato, A. et al., Genes Cells 1, 569-579 (1996)) を、それぞれ $12\mu\text{g}$, $4\mu\text{g}$, $2\mu\text{g}$, $4\mu\text{g}$ 及び $4\mu\text{g}/\text{dish}$ の量比トランスフェクトする。数時間培養後、血清を含まないMEMで細胞を2回洗浄し、 $40\mu\text{g}/\text{mL}$ の Cytosine β -D-arabinofuranoside (AraC: Sigma, St.Louis, MO) 及び $7.5\mu\text{g}/\text{mL}$ の Trypsin (Gibco-BRL, Rockville, MD) を含むMEMで培養する。これらの細胞を回収し、ペレットをOptiMEM に懸濁する (10^7 cells/ml)。凍結融解を3回繰り返してlipofection reagent DOSPER (Boehringer mannheim)と混合し (10^6 cells/ $25\mu\text{l}$ DOSPER) 室温で15分放置した後、上記でクローニングしたF発現ヘルパー細胞にトランスフェクション (10^6 cells /well 12-well-plate) し、血清を含まないMEM ($40\mu\text{g}/\text{ml}$ AraC, $7.5\mu\text{g}/\text{ml}$ トリプシンを含む)で培養し、上清を回収する。F以外の遺伝子、例えばHNまたはM遺伝子を欠損したウイルスも、これと同様の方法で調製することができる。

【 0 0 6 3 】

ウイルス遺伝子欠損型ベクターを調製する場合、例えば、ベクターに含まれるウイルスゲノム上で欠損しているウイルス遺伝子が異なる2種またはそれ以上のベクターを同じ細胞に導入すれば、それぞれで欠損するウイルス蛋白質が、他のベクターからの発現により供給されるため、互いに相補しあって感染力のあるウイルス粒子が形成され、複製サイクルがまわりウイルスベクターが増幅される。すなわち、2種またはそれ以上の本発明のベクターを、ウイルス蛋白質を相補する組み合わせで接種すれば、それぞれのウイルス遺伝子欠損型ウイルスベクターの混合物を大量かつ低コストで生産することができる。これらのウイルスは、ウイルス遺伝子が欠損しているため、ウイルス遺伝子を欠損していないウイルスに比べゲノムサイズが小さくなりサイズの大きい外来遺伝子を保持することができる。また、ウイルス遺伝子の欠損により増殖性がないこれらのウイルスは細胞外で希釈され共感染の維持が困難であることから、不稔化するため、環境放出管理上の利点がある。例えば抗体H鎖をコードするベクターとL鎖コードするベクターとを互いに相補できるように別々に構築し、これらの共感染させることも考えられる。本発明は、抗体のH鎖可変領域を含むポリペプチドをコードするパラミクソウイルスベクター、および抗体のL鎖可変領域を含むポリペプチドをコードす

るパラミクソウイルスベクターを含む組成物を提供する。また本発明は、抗体のH鎖可変領域を含むポリペプチドをコードするパラミクソウイルスベクター、および抗体のL鎖可変領域を含むポリペプチドをコードするパラミクソウイルスベクターを含むキットを提供する。これらの組成物およびキットは、同時に感染させることでH鎖およびL鎖からなる抗体を形成させるために使用できる。

【0064】

なお、複製性のパラミクソウイルスベクターを個体や細胞に投与後、治療が完了するなどウイルスベクターの増殖を抑止する必要が生じた際には、RNA依存性RNAポリメラーゼ阻害剤を投与すれば、宿主に障害を与えずにウイルスベクターの増殖だけを特異的に抑止することもできる。

【0065】

本発明の方法によれば、本発明のウイルスベクターは、例えば 1×10^5 CIU/mL以上、好ましくは 1×10^6 CIU/mL以上、より好ましくは 5×10^6 CIU/mL以上、より好ましくは 1×10^7 CIU/mL以上、より好ましくは 5×10^7 CIU/mL以上、より好ましくは 1×10^8 CIU/mL以上、より好ましくは 5×10^8 CIU/mL以上の力価でウイルス産生細胞の細胞外液中に放出させることが可能である。ウイルスの力価は、本明細書および他に記載の方法により測定することができる (Kiyotani, K. et al., Virology 177(1), 65-74 (1990); W000/70070)。

【0066】

回収したパラミクソウイルスベクターは実質的に純粋になるよう精製することができる。精製方法はフィルトレーション（濾過）、遠心分離、およびカラム精製等を含む公知の精製・分離方法またはその組み合わせにより行うことができる。「実質的に純粋」とは、ウイルスベクターが、それが存在する試料中の成分として主要な割合を占めることを言う。典型的には、実質的に純粋なウイルスベクターは、試料中に含まれる全蛋白質のうち、ウイルスベクター由来の蛋白質の割合が50%以上、好ましくは70%以上、より好ましくは80%以上、さらに好ましくは90%以上を占めることにより確認することができる。パラミクソウイルスの具体的な精製方法としては、例えばセルロース硫酸エステルまたは架橋ポリサッカライド硫酸エステルを用いる方法（特公昭62-30752号公報、特公昭62-33879号公

報、および特公昭62-30753号公報)、およびフコース硫酸含有多糖および/またはその分解物に吸着させる方法(W097/32010)等を例示することができる。

【0067】

ベクターを含む組成物の製造においては、ベクターは必要に応じて薬理学的に許容される所望の担体または媒体と組み合わせることができる。「薬学的に許容される担体または媒体」とは、ベクターと共に投与することが可能であり、ベクターによる遺伝子導入を有意に阻害しない材料である。例えばベクターを生理食塩水やリン酸緩衝生理食塩水(PBS)などで適宜希釈して組成物とすることができる。ベクターを鶏卵で増殖させた場合等においては尿液を含んでもよい。またベクターを含む組成物は、脱イオン水、5%デキストロース水溶液等の担体または媒体を含んでもよい。さらに、その他にも、植物油、懸濁剤、界面活性剤、安定剤、殺生物剤等が含有されていてもよい。また保存剤やその他の添加剤を添加することができる。本発明のベクターを含む組成物は試薬として、および医薬として有用である。

【0068】

ベクターの投与量は、疾患、患者の体重、年齢、性別、症状、投与目的、投与組成物の形態、投与方法、導入遺伝子等により異なるが、当業者であれば適宜決定することが可能である。投与経路は適宜選択することができるが、例えば経皮的、鼻腔内的、経気管支的、筋内的、腹腔内、静脈内、関節内、脊髄腔内、または皮下等に行われうるがそれらに限定されない。また局所あるいは全身に投与し得る。投与されるベクター量は好ましくは約 10^5 CIU/mlから約 10^{11} CIU/ml、より好ましくは約 10^7 CIU/mlから約 10^9 CIU/ml、最も好ましくは約 1×10^8 CIU/mlから約 5×10^8 CIU/mlの範囲内の量を薬学上容認可能な担体中で投与することが好ましい。ヒトにおいては1回当たりの投与量は 2×10^5 CIU～ 2×10^{10} CIUが好ましく、投与回数は、1回または臨床上容認可能な副作用の範囲で複数回可能であり、1日の投与回数についても同様である。本発明のベクターを用いて製造された蛋白質製剤であれば、蛋白質の投与量は例えば、10ng/kgから100 μ g/kg、好ましくは100ng/kgから50 μ g/kg、より好ましくは1 μ g/kgから5 μ g/kgの範囲であるとよい。ヒト以外の動物についても、例えば目的の動物とヒトとの体重比ま

たは投与標的部位の容積比（例えば平均値）で上記の投与量を換算した量を投与することができる。本発明のベクターを含む組成物の投与対象としては、ヒト、サル、マウス、ラット、ウサギ、ヒツジ、ウシ、イヌなど全ての哺乳動物が含まれる。

【0069】

【実施例】

以下、実施例により本発明をさらに詳細に説明するが、本発明はこれら実施例に制限されるものではない。なお、本明細書中に引用された文献は、本明細書の一部として組み込まれる。

【0070】

【実施例1】 Fab遺伝子を搭載したSeVベクターの構築

SeVベクターの脊髄損傷への応用の一つとして、軸索伸長阻害因子（NOGO等）の阻害を目的とする治療ベクターを例示する。NOGOの中和抗体として、IN-1（mouse IgM κ 型）が知られていることから（Brosamle, C. et al., J. Neurosci. 20(21), 8061-8068 (2000) 等）、このIN-1を搭載した複製型SeVベクターの構築を行った。また、F欠失型SeVベクター（複製欠損型）についても構築を行った。

【0071】

1) 遺伝子の全合成

IN-1のFab（H鎖及びL鎖）遺伝子を搭載したSeVベクターを構築するため、IN-1のFab遺伝子の全合成を実施した。IN-1の single chain Fab 部分の塩基配列（Accession No. Y08011; Bandtlow, C. et al., Eur. J. Biochem. 241(2) 468-475 (1996)) を元に、His-tagは除き、両端に NotI 認識配列を含み、H鎖（配列番号：10）及びL鎖（配列番号：11）がSeVのEIS配列を挟んでtandemに結合するように配列をデザインした（図1；配列番号：9）。合成に使用したoligo DNAの配列および名称を図2に示し、その配置を図3に示した。NotI断片の全長は6n（6の倍数）となるようにした。

【0072】

2) IN-1(Fab) 搭載SeV cDNAの遺伝子構築

上記で合成したNotI断片をpBluescript II KS (Stratagene, LaJolla, CA) へ

挿入した。遺伝子配列を確認した後、このプラスミドから、EISを有するNotI断片をNotI切断により切り出し、複製型 (pSeV18+) (Hasan, M. K. et al., J. Gen. Virol. 78: 2813-2820, 1997, Kato, A. et al., 1997, EMBO J. 16: 578-587 及び Yu, D. et al., 1997, Genes Cells 2: 457-466) 及びF欠失型 (pSeV18+/ Δ F) (Li, H.-O. et al., J. Virol. 74(14) 6564-6569 (2000)) のセンダイウイルスゲノムをコードするプラスミドの+18位 (NotI部位) へ挿入し、それぞれ pSeV18+IN-1 および SeV18+IN-1/ Δ F とした。

【0073】

3) SeV再構成 (複製型: SeV18+IN-1)

ウイルスの再構成はKatoらの報告 (Kato, A. et al., Genes cells 1, 569-579 (1996)) に従って行った。LLC-MK2細胞を 5×10^6 cells/dishで直径100mmのシャーレに播き、24時間培養後、ソラレン (psoralen) と長波長紫外線 (365nm) で20分間処理したT7ポリメラーゼを発現するリコンビナントワクシニアウイルス (PLWUV-VacT7: Fuerst, T.R. et al., Proc. Natl. Acad. Sci. USA 83, 8122-8126 (1986)) を37℃で1時間感染させた (MOI=2)。細胞を血清を含まないMEMで洗浄した後、プラスミド pSeV18+IN-1, pGEM/NP, pGEM/P及びpGEM/L (Kato, A. et al., Genes cells 1, 569-579 (1996)) をそれぞれ12 μ g, 4 μ g, 2 μ g及び4 μ g/dishの量比でOpti-MEM 200 μ L (Gibco-BRL, Rockville, MD) に懸濁し、1 μ g DNA/5 μ L相当のSuperFect transfection reagent (Qiagen, Bothell, WA) を入れて混合し、室温で15分間放置後、最終的に3% FBSを含むOpti-MEM 3mLに入れ、細胞に添加して培養した。5時間培養後血清を含まないMEMで2回洗浄し、40 μ g/mLの Cytosine β -D-arabinofuranoside (AraC: Sigma, St.Louis, MO) 及び7.5 μ g/mLのTrypsin (Gibco-BRL, Rockville, MD) を含むMEMで3日間培養した (P0)。

これらの細胞を回収し、ペレットを1 mL/dishあたりの PBSに懸濁した。凍結融解を3回繰り返した後、胎生10日齢の有性卵に、前記ライゼートを100 μ L/eggあたり接種した。その後、転卵しながら35.5℃で3日間培養した (P1)。4℃に4～6時間放置後、漿尿液を回収し、赤血球凝集活性 (HA活性) 測定を行い、ウイルス回収の有無を検定した。

HA活性はKatoらの方法 (Kato, A. et al., Genes Cell 1, 569-579 (1996)) に倣って行った。即ち、丸底の96穴プレートを使用し、ウイルス液を段階的にPBSで希釈し各well 50 μ Lの2倍希釈系列を作製した。その50 μ Lに1%濃度にPBSで希釈したニワトリ保存血 (コスモバイオ, Tokyo, Japan) 50 μ Lを混合し、4℃で30分間放置し赤血球の凝集を観察し、凝集したもののうち最もウイルス希釈率の高いものの希釈率をHA活性として判定した。また、1 HAUを 1×10^6 ウイルスと換算して、ウイルス数として算出することができる。

【0074】

回収したP1の漿尿液を、(HAUが観測された場合には) PBSにて 10^{-5} 及び 10^{-6} 希釈し、(HAUが観測されなかった場合には) 希釈率を下げて、胎生10日齢のニワトリ有性卵に、前記希釈液を100 μ L/eggあたり接種し、その後、転卵しながら35.5℃で3日間培養した (P2)。漿尿液を回収後、HA活性を測定してウイルス回収の有無を検定した。回収したP2の漿尿液を 10^{-5} 及び 10^{-6} 希釈後、同様の操作を行い (P3)、P3の漿尿液を回収し、HA活性を測定した。HA活性の上昇が観察され、ウイルスの再構成に成功したと判断された。回収した漿尿液のHA活性値 (HAU) を下記に示した。タイターは、P4の試料で 2^9 HAU (約 5×10^8 CIU/mL) と計算された。

【0075】

【表1】

試料	P1	P2	P3	P4
SeV18+IN-1	2^2	2^{10}	2^8	2^9 (HAU)

【0076】

4) SeV再構成 (F欠失型: SeV18+IN-1/ Δ F)

ウイルスの再構成はLiらの報告 (Li, H.-O. et al., J. Virology 74. 6564-6569 (2000), W000/70070) に従って行った。F欠失型ウイルスを再構成させるため、F蛋白のヘルパー細胞を利用した。当該ヘルパー細胞作製にはCre/loxP発現誘導システムを利用している。当該システムはCre DNA リコンビナーゼにより遺

伝子産物を誘導発現するように設計されたプラスミドpCALNDLw (Arai, T. et al., J. Virol. 72: 1115-1121 (1988)) を利用したものであり、同プラスミドのトランスフォーマントにCre DNAリコンビナーゼを発現する組み換えアデノウイルス (AxCANCre) をSaitoらの方法 (Saito, I. et al., Nucl. Acid. Res. 23, 3816-3821 (1995), Arai, T. et al., J. Virol. 72, 1115-1121 (1998)) で感染させて挿入遺伝子を発現させる。SeV-F蛋白の場合、F遺伝子を有する同トランスフォーマント細胞をLLC-MK2/F7と記載し、AxCANCreで誘導後F蛋白を持続発現している細胞をLLC-MK2/F7/Aと記載することにする。

【0077】

F欠失型SeV (SeV18+IN-1/ Δ F) の再構成は、以下のように行った。則ち、LLC-MK2細胞を 5×10^6 cells/dishで直径100mmのシャーレに播き、24時間培養後、PLWUV-VacT7を室温で1時間感染させた (MOI=2)。細胞を血清を含まないMEMで洗浄した後、プラスミド pSeV18+IN-1/ Δ F, pGEM/NP, pGEM/P, pGEM/L及びpGEM/F-HNをそれぞれ12 μ g, 4 μ g, 2 μ g, 4 μ g及び4 μ g/dishの量比でOpti-MEMに懸濁し、1 μ g DNA/5 μ L相当のSuperFect transfection reagentを入れて混合し、室温で15分間放置後、最終的に3% FBSを含むOpti-MEM 3mLに入れ、細胞に添加して培養した。5時間培養後血清を含まないMEMで2回洗浄し、40 μ g/mLのAraC及び7.5 μ g/mLのTrypsinを含むMEMで培養した。24時間培養後、 8.5×10^6 cells/dishあたりにLLC-MK2/F7/Aを重層し、40 μ g/mLのAraC及び7.5 μ g/mLのTrypsinを含むMEMで更に2日間37°Cで培養した。これらの細胞を回収し、ペレットを2mL/dishあたりのOpti-MEMに懸濁、凍結融解を3回繰り換えしてP0 lysateを調製した。一方で、LLC-MK2/F7/Aを24 wellプレートに播き、ほぼコンフルエントの時に32°Cに移し1日間培養した細胞を準備した。この細胞にSeV18+IN-1/ Δ FのP0 lysateを各200 μ L/wellでトランスフェクションし、40 μ g/mLのAraC及び7.5 μ g/mLのTrypsinを含み血清を含まないMEMを用い32°Cで培養した。P1 培養上清を用いてP2以降、6 wellプレートに播いたLLC-MK2/F7/A細胞を用いて、同様の培養をP3までくり返した。

HA活性にてウィルスの増殖を確認したところ、P1以降のサンプルでHA活性の上昇が見られた。タイターは、P3の4日目の試料 (P3d4) で 2.7×10^7 CIU/mLであ

った。

【0078】

5) RT-PCRによるウィルスゲノムの確認

複製型 (SeV18+IN-1) のウィルス溶液 (P2 sample) からのウィルスRNAの回収は、QIAGEN QIAamp Viral RNA Mini Kit (QIAGEN, Bothell, WA) を利用して行い、RT-PCRは1 stepでSuper Script One-Step RT-PCR with Platinum Taq Kit (Gibco-BRL, Rockville, MD) を利用して行った。RT-PCRは、SYN80F12/SYN80R1の組み合わせをプライマー対として使用して行った。目的の大きさの遺伝子の増幅が確認され、ウィルス遺伝子上にIN-1の遺伝子を搭載していることが確認された (図4 上パネル)。

F欠失型 (SeV18+IN-1/ Δ F) についても同様の方法で行った。P3d4のサンプルを用いて、プライマーは、SYN80F12/SYN80R1の組み合わせで行った。この場合も目的の大きさの遺伝子の増幅が確認され、ウィルス遺伝子上にIN-1の遺伝子を搭載していることが確認された (図4 下パネル)。

【0079】

6) SeV搭載遺伝子に由来する蛋白質発現の確認

IN-1は、mouse IgMの κ 型であるため、蛋白質発現の確認にはWestern blottingの2次抗体であるHRP-cojugated anti-mouse IgG+IgM (Goat F(ab')₂ Anti-Mouse IgG+IgM (AM14074): BioSource International) を使用したWestern blottingでの検出を試みた (1次抗体無し)。

6 well plateでconfluentになったLLC-MK2にMOI 5でSeV18+IN-1或いは SeV18-IN-1/ Δ F を感染した。感染2日後或いは4日後に培養上清を回収し、そのサンプルについては、PAGE prep Protein Clean-Up and Enrichment Kit (Pierce) を利用して濃縮と不純物の除去を行った。ネガティブコントロール (NC) として、GFP遺伝子を搭載した複製型SeVベクターを同条件で感染し、回収した培養上清について上記と同様に調製しアプライした。300 μ Lの培養上清を処理し40 μ LのSDS-sampleとして回収しその中の10 μ L/laneでアプライしている。結果を図5に示したが、酸化条件で約47kDa、還元条件で約30kDaのバンドが検出された。アミノ酸配列から予想される分子量はH鎖が24.0kDa、L鎖が23.4kDaである。酸化条件で

はH鎖及びL鎖の結合状態で、還元条件では解離状態のH鎖及びL鎖の何れか一方のみが検出されていると判断され、Fabが形成されていることが確認された。

【0080】

【発明の効果】

本発明により、抗体可変領域を含むポリペプチドを発現するパラミクソウイルスベクターが提供された。本発明のベクターは、インビボまたはエキスピボにより生体内に投与するための遺伝子治療ベクターとして適している。特に神経伸長阻害因子に対する抗体断片を発現するベクターは、神経損傷への遺伝子治療に有用である。また、免疫活性化シグナル伝達を阻害する抗体を発現する本発明のベクターは、ベクターからの遺伝子の長期発現および繰り返し投与を可能にする。

【0081】

【配列表】

SEQUENCE LISTING

<110> Dनावेक Research Inc.

<120> Antibody-encoding paramyxovirus vectors and their use

<130> D3-A0203

<160> 42

<170> PatentIn version 3.1

<210> 1

<211> 10

<212> DNA

<213> Sendai virus

<400> 1

ctttcaccct

10

<210> 2

<211> 15

<212> DNA

<213> Sendai virus

<400> 2

tttttcttac tacgg

15

<210> 3

<211> 18

<212> DNA

<213> Artificial

<220>

<223> Spacer sequence

<400> 3

cggccgcaga tcttcacg

18

<210> 4

<211> 18

<212> DNA

<213> Artificial

<220>

<223> Spacer sequence

<400> 4

atgcatgccg gcagatga

18

<210> 5

<211> 18

<212> DNA

<213> Artificial

<220>

<223> A primer for amplifying Sendai virus genome fragment

<400> 5

gttgagtact gcaagagc

18

<210> 6

<211> 42

<212> DNA

<213> Artificial

<220>

<223> A primer for amplifying Sendai virus genome fragment

<400> 6

tttgccggca tgcattttc ccaaggggag agttttgcaa cc

42

<210> 7

<211> 18

<212> DNA

<213> Artificial

<220>

<223> A primer for amplifying Sendai virus genome fragment

<400> 7

atgcatgccg gcagatga

18

<210> 8

<211> 21

<212> DNA

<213> Artificial

<220>

<223> A primer for amplifying Sendai virus genome fragment

<400> 8

tgggtgaatg agagaatcag c

21

<210> 9

<211> 1550

<212> DNA

<213> Artificial

<220>

<223> A gene framgment encoding V regions of antibody IN-1

<220>

<221> CDS

<222> (18)..(749)

<223>

<220>

<221> CDS

<222> (801)..(1505)

<223>

<400> 9

gcggccgccg tacggcc atg aaa aag aca gct atc gcg att gca gtg gca 50

Met Lys Lys Thr Ala Ile Ala Ile Ala Val Ala

1

5

10

ctg gct ggt ttc gct acc gta gcg cag gcc gaa gtt aaa ctg cat gag 98

Leu Ala Gly Phe Ala Thr Val Ala Gln Ala Glu Val Lys Leu His Glu

15

20

25

tca ggg cct ggg ctg gta agg cct ggg act tca gtg aag ata tcc tgc 146

Ser Gly Pro Gly Leu Val Arg Pro Gly Thr Ser Val Lys Ile Ser Cys

30

35

40

aag gct tct ggc tac acc ttc act aac tac tgg cta ggt tgg gta aag 194
 Lys Ala Ser Gly Tyr Thr Phe Thr Asn Tyr Trp Leu Gly Trp Val Lys

45

50

55

cag agg cct gga cat gga ctt gag tgg att gga gat att tac cct gga 242
 Gln Arg Pro Gly His Gly Leu Glu Trp Ile Gly Asp Ile Tyr Pro Gly

60

65

70

75

ggt ggt tat act aac tac aat gag aag ttc aag ggc aag gcc aca ctg 290
 Gly Gly Tyr Thr Asn Tyr Asn Glu Lys Phe Lys Gly Lys Ala Thr Leu

80

85

90

act gca gac aca tcc tcc agc act gcc tac atg cag ctc agt agc ctg 338
 Thr Ala Asp Thr Ser Ser Ser Thr Ala Tyr Met Gln Leu Ser Ser Leu

95

100

105

aca tct gag gac tct gct gtc tat ttc tgt gca aga ttt tac tac ggt 386
 Thr Ser Glu Asp Ser Ala Val Tyr Phe Cys Ala Arg Phe Tyr Tyr Gly

110

115

120

agt agc tac tgg tac ttc gat gtc tgg ggc caa ggc acc acg gtc acc 434
 Ser Ser Tyr Trp Tyr Phe Asp Val Trp Gly Gln Gly Thr Thr Val Thr

125

130

135

gtc tcc tca gca aag acc act cct ccg tct gtt tac cct ctg gct cct 482
 Val Ser Ser Ala Lys Thr Thr Pro Pro Ser Val Tyr Pro Leu Ala Pro

140

145

150

155

ggt tct gcg gct cag act aac tct atg gtg act ctg gga tgc ctg gtc 530

Gly Ser Ala Ala Gln Thr Asn Ser Met Val Thr Leu Gly Cys Leu Val

160

165

170

aag ggc tat ttc cct gag cca gtg aca gtg acc tgg aac tct gga tcc

578

Lys Gly Tyr Phe Pro Glu Pro Val Thr Val Thr Trp Asn Ser Gly Ser

175

180

185

ctg tcc agc ggt gtg cac acc ttc cca gct gtc ctg caa tct gac ctc

626

Leu Ser Ser Gly Val His Thr Phe Pro Ala Val Leu Gln Ser Asp Leu

190

195

200

tac act ctg agc agc tca gtg act gtc ccc tcc agc acc tgg ccc agc

674

Tyr Thr Leu Ser Ser Ser Val Thr Val Pro Ser Ser Thr Trp Pro Ser

205

210

215

gag acc gtc acc tgc aac gtt gcc cac ccg gct tct agc acc aaa gtt

722

Glu Thr Val Thr Cys Asn Val Ala His Pro Ala Ser Ser Thr Lys Val

220

225

230

235

gac aag aaa atc gta ccg cgc gac tgc taaccgtagt aagaaaaact

769

Asp Lys Lys Ile Val Pro Arg Asp Cys

240

tagggtgaaa gttcatcgcg gccgtacggc c atg aaa caa agc act att gca

821

Met Lys Gln Ser Thr Ile Ala

245

250

ctg gca ctc tta ccg tta ctg ttt acc cct gtg aca aaa gcc gac atc

869

Leu Ala Leu Leu Pro Leu Leu Phe Thr Pro Val Thr Lys Ala Asp Ile

255	260	265	
gag ctc acc cag tct cca gca atc atg gct gca tct gtg gga gaa act			917
Glu Leu Thr Gln Ser Pro Ala Ile Met Ala Ala Ser Val Gly Glu Thr			
270	275	280	
gtc acc atc aca tgt gga gca agt gag aat att tac ggt gct tta aat			965
Val Thr Ile Thr Cys Gly Ala Ser Glu Asn Ile Tyr Gly Ala Leu Asn			
285	290	295	
tgg tat cag cgg aaa cag gga aaa tct cct cag ctc ctg atc tat ggt			1013
Trp Tyr Gln Arg Lys Gln Gly Lys Ser Pro Gln Leu Leu Ile Tyr Gly			
300	305	310	315
gca acc aac ttg gca gat ggc atg tca tcg agg ttc agt ggc agt gga			1061
Ala Thr Asn Leu Ala Asp Gly Met Ser Ser Arg Phe Ser Gly Ser Gly			
320	325	330	
tct ggt aga cag tat tct ctc aag atc agt agc ctg cat cct gac gat			1109
Ser Gly Arg Gln Tyr Ser Leu Lys Ile Ser Ser Leu His Pro Asp Asp			
335	340	345	
gtt gca acg tat tac tgt caa aat gtg tta agt act cct cgg acg ttc			1157
Val Ala Thr Tyr Tyr Cys Gln Asn Val Leu Ser Thr Pro Arg Thr Phe			
350	355	360	
gga gct ggg acc aag ctc gag ctg aag cgc gct gat gct gca ccg act			1205
Gly Ala Gly Thr Lys Leu Glu Leu Lys Arg Ala Asp Ala Ala Pro Thr			
365	370	375	

gta tcc atc ttc cca cca tcc agt gag cag tta aca tct gga ggt gcc	1253
Val Ser Ile Phe Pro Pro Ser Ser Glu Gln Leu Thr Ser Gly Gly Ala	
380 385 390 395	
tca gtc gtg tgc ttc ttg aac aac ttc tac ccc aaa gac atc aat gtc	1301
Ser Val Val Cys Phe Leu Asn Asn Phe Tyr Pro Lys Asp Ile Asn Val	
400 405 410	
aag tgg aag att gat ggc agt gaa cga caa aat ggc gtc ctg aac agt	1349
Lys Trp Lys Ile Asp Gly Ser Glu Arg Gln Asn Gly Val Leu Asn Ser	
415 420 425	
tgg act gat cag gac agc aaa gac agc acc tac agc atg agc agc acc	1397
Trp Thr Asp Gln Asp Ser Lys Asp Ser Thr Tyr Ser Met Ser Ser Thr	
430 435 440	
ctc acg ttg acc aag gac gag tat gaa cga cat aac agc tat acc tgt	1445
Leu Thr Leu Thr Lys Asp Glu Tyr Glu Arg His Asn Ser Tyr Thr Cys	
445 450 455	
gag gcc act cac aag aca tca act tca ccc att gtc aag agc ttc aac	1493
Glu Ala Thr His Lys Thr Ser Thr Ser Pro Ile Val Lys Ser Phe Asn	
460 465 470 475	
agg aat gag tgt tagtccgtag taagaaaaac ttagggtgaa agttcatgcg gccgc	1550
Arg Asn Glu Cys	

<210> 10

<211> 244

<212> PRT

<213> Artificial

<220>

<223> Immunoglobulin IN-1 heavy chain

<400> 10

Met Lys Lys Thr Ala Ile Ala Ile Ala Val Ala Leu Ala Gly Phe Ala

1 5 10 15

Thr Val Ala Gln Ala Glu Val Lys Leu His Glu Ser Gly Pro Gly Leu

20 25 30

Val Arg Pro Gly Thr Ser Val Lys Ile Ser Cys Lys Ala Ser Gly Tyr

35 40 45

Thr Phe Thr Asn Tyr Trp Leu Gly Trp Val Lys Gln Arg Pro Gly His

50 55 60

Gly Leu Glu Trp Ile Gly Asp Ile Tyr Pro Gly Gly Gly Tyr Thr Asn

65 70 75 80

Tyr Asn Glu Lys Phe Lys Gly Lys Ala Thr Leu Thr Ala Asp Thr Ser

85

90

95

Ser Ser Thr Ala Tyr Met Gln Leu Ser Ser Leu Thr Ser Glu Asp Ser

100

105

110

Ala Val Tyr Phe Cys Ala Arg Phe Tyr Tyr Gly Ser Ser Tyr Trp Tyr

115

120

125

Phe Asp Val Trp Gly Gln Gly Thr Thr Val Thr Val Ser Ser Ala Lys

130

135

140

Thr Thr Pro Pro Ser Val Tyr Pro Leu Ala Pro Gly Ser Ala Ala Gln

145

150

155

160

Thr Asn Ser Met Val Thr Leu Gly Cys Leu Val Lys Gly Tyr Phe Pro

165

170

175

Glu Pro Val Thr Val Thr Trp Asn Ser Gly Ser Leu Ser Ser Gly Val

180

185

190

His Thr Phe Pro Ala Val Leu Gln Ser Asp Leu Tyr Thr Leu Ser Ser
 195 200 205

Ser Val Thr Val Pro Ser Ser Thr Trp Pro Ser Glu Thr Val Thr Cys
 210 215 220

Asn Val Ala His Pro Ala Ser Ser Thr Lys Val Asp Lys Lys Ile Val
 225 230 235 240

Pro Arg Asp Cys

<210> 11

<211> 235

<212> PRT

<213> Artificial

<220>

<223> Immunoglobulin IN-1 light chain

<400> 11

Met Lys Gln Ser Thr Ile Ala Leu Ala Leu Leu Pro Leu Leu Phe Thr
 1 5 10 15

Pro Val Thr Lys Ala Asp Ile Glu Leu Thr Gln Ser Pro Ala Ile Met

20

25

30

Ala Ala Ser Val Gly Glu Thr Val Thr Ile Thr Cys Gly Ala Ser Glu

35

40

45

Asn Ile Tyr Gly Ala Leu Asn Trp Tyr Gln Arg Lys Gln Gly Lys Ser

50

55

60

Pro Gln Leu Leu Ile Tyr Gly Ala Thr Asn Leu Ala Asp Gly Met Ser

65

70

75

80

Ser Arg Phe Ser Gly Ser Gly Ser Gly Arg Gln Tyr Ser Leu Lys Ile

85

90

95

Ser Ser Leu His Pro Asp Asp Val Ala Thr Tyr Tyr Cys Gln Asn Val

100

105

110

Leu Ser Thr Pro Arg Thr Phe Gly Ala Gly Thr Lys Leu Glu Leu Lys

115

120

125

Arg Ala Asp Ala Ala Pro Thr Val Ser Ile Phe Pro Pro Ser Ser Glu

130

135

140

Gln Leu Thr Ser Gly Gly Ala Ser Val Val Cys Phe Leu Asn Asn Phe

145

150

155

160

Tyr Pro Lys Asp Ile Asn Val Lys Trp Lys Ile Asp Gly Ser Glu Arg

165

170

175

Gln Asn Gly Val Leu Asn Ser Trp Thr Asp Gln Asp Ser Lys Asp Ser

180

185

190

Thr Tyr Ser Met Ser Ser Thr Leu Thr Leu Thr Lys Asp Glu Tyr Glu

195

200

205

Arg His Asn Ser Tyr Thr Cys Glu Ala Thr His Lys Thr Ser Thr Ser

210

215

220

Pro Ile Val Lys Ser Phe Asn Arg Asn Glu Cys

225

230

235

<210> 12

<211> 68

<212> DNA

<213> Artificial

<220>

<223> Synthetic oligonucleotide for constructing a Fab gene fragment

<400> 12

cggaattcgc ggccgccgta cggccatgaa aaagacagct atcgcgattg cagtggcact 60

ggctgggtt 68

<210> 13

<211> 70

<212> DNA

<213> Artificial

<220>

<223> Synthetic oligonucleotide for constructing a Fab gene fragment

<400> 13

tgcagtggca ctggctgggtt tcgctaccgt agcgcaggcc gaagttaaac tgcattgagtc 60

agggcctggg 70

<210> 14

<211> 70

<212> DNA

<213> Artificial

<220>

<223> Synthetic oligonucleotide for constructing a Fab gene fragment

<400> 14

tgcatgagtc agggcctggg ctggtaaggc ctgggacttc agtgaagata tcctgcaagg 60

cttctggcta 70

<210> 15

<211> 60

<212> DNA

<213> Artificial

<220>

<223> Synthetic oligonucleotide for constructing a Fab gene fragment

<400> 15

actgcagaca catcctccag cactgcctac atgcagctca gtagcctgac atctgaggac 60

<210> 16

<211> 60

<212> DNA

<213> Artificial

<220>

<223> Synthetic oligonucleotide for constructing a Fab gene fragment

<400> 16

gtagcctgac atctgaggac tetgctgtct atttctgtgc aagattttac tacggtagta 60

<210> 17

<211> 60

<212> DNA

<213> Artificial

<220>

<223> Synthetic oligonucleotide for constructing a Fab gene fragment

<400> 17

aagattttac tacggtagta gctactggta cttcgatgtc tggggccaag gcaccacggt 60

<210> 18

<211> 60

<212> DNA

<213> Artificial

<220>

<223> Synthetic oligonucleotide for constructing a Fab gene fragment

<400> 18

cgggatccct gtccagcgggt gtgcacacct tcccagctgt cctgcaatct gacctctaca 60

<210> 19

<211> 70

<212> DNA

<213> Artificial

<220>

<223> Synthetic oligonucleotide for constructing a Fab gene fragment

<400> 19

cctgcaatct gacctctaca ctctgagcag ctccagtgtgt gtcccctcca gcacctggcc 60

cagcgagacc 70

<210> 20

<211> 70

<212> DNA

<213> Artificial

<220>

<223> Synthetic oligonucleotide for constructing a Fab gene fragment

<400> 20

gcacctggcc cagcgagacc gtcacctgca acgttgccca cccggcttct agcaccaaag 60

ttgacaagaa 70

<210> 21

<211> 70

<212> DNA

<213> Artificial

<220>

<223> Synthetic oligonucleotide for constructing a Fab gene fragment

<400> 21

gccgacatcg agctcaccca gtctccagca atcatggctg catctgtggg agaaactgtc 60

accatcacat 70

<210> 22

<211> 70

<212> DNA

<213> Artificial

<220>

<223> Synthetic oligonucleotide for constructing a Fab gene fragment

<400> 22

agaaactgtc accatcacat gtggagcaag tgagaatatt tacggtgctt taaattggta 60

tcagcggaaa 70

<210> 23

<211> 70

<212> DNA

<213> Artificial

<220>

<223> Synthetic oligonucleotide for constructing a Fab gene fragment

<400> 23

taaattggta tcagcggaaa cagggaaaat ctctcagct cctgatctat ggtgcaacca 60

acttggcaga 70

<210> 24

<211> 72

<212> DNA

<213> Artificial

<220>

<223> Synthetic oligonucleotide for constructing a Fab gene fragment

<400> 24

accgctcgag ctgaagcgcg ctgatgctgc accgactgta tccatcttcc caccatccag 60

tgagcagtta ac 72

<210> 25

<211> 70

<212> DNA

<213> Artificial

<220>

<223> Synthetic oligonucleotide for constructing a Fab gene fragment

<400> 25

ccatccagtg agcagttaac atctggaggt gcctcagtcg tgtgcttctt gaacaacttc 60

taccccaaag 70

<210> 26

<211> 70

<212> DNA

<213> Artificial

<220>

<223> Synthetic oligonucleotide for constructing a Fab gene fragment

<400> 26

gaacaacttc taccccaaag acatcaatgt caagtggaag attgatggca gtgaacgaca 60

aaatggcgtc 70

<210> 27

<211> 79

<212> DNA

<213> Artificial

<220>

<223> Synthetic oligonucleotide for constructing a Fab gene fragment

<400> 27

caagagcttc aacaggaatg agtgtagtc cgtagtaaga aaaacttagg gtgaaagttc 60

atgcggccgc aagcttggg 79

<210> 28

<211> 80

<212> DNA

<213> Artificial

<220>

<223> Synthetic oligonucleotide for constructing a Fab gene fragment

<400> 28

tgaacgacat aacagctata cctgtgaggc cactcacaag acatcaactt cacccattgt 60

caagagcttc aacaggaatg 80

<210> 29

<211> 70

<212> DNA

<213> Artificial

<220>

<223> Synthetic oligonucleotide for constructing a Fab gene fragment

<400> 29

gacagcacct acagcatgag cagcaccctc acgttgacca aggacgagta tgaacgacat 60

aacagctata 70

<210> 30

<211> 70

<212> DNA

<213> Artificial

<220>

<223> Synthetic oligonucleotide for constructing a Fab gene fragment

<400> 30

gtgaacgaca aaatggcgctc ctgaacagtt ggactgatca ggacagcaaa gacagcacct 60

acagcatgag 70

<210> 31

<211> 70

<212> DNA

<213> Artificial

<220>

<223> Synthetic oligonucleotide for constructing a Fab gene fragment

<400> 31

ttactgtcaa aatgtgttaa gtactcctcg gacgttcgga gctgggacca agctcgagcg 60

gaagcttggg 70

<210> 32

<211> 80

<212> DNA

<213> Artificial

<220>

<223> Synthetic oligonucleotide for constructing a Fab gene fragment

<400> 32

atctggtaga cagtattctc tcaagatcag tagcctgcat cctgacgatg ttgcaacgta 60

ttactgtcaa aatgtgttaa 80

<210> 33

<211> 70

<212> DNA

<213> Artificial

<220>

<223> Synthetic oligonucleotide for constructing a Fab gene fragment

<400> 33

ggtgcaacca acttggcaga tggcatgtca tcgaggttca gtggcagtgg atctggtaga 60

cagtattctc 70

<210> 34

<211> 70

<212> DNA

<213> Artificial

<220>

<223> Synthetic oligonucleotide for constructing a Fab gene fragment

<400> 34

gcactattgc actggcactc ttaccgttac tgttacccc tgtgacaaaa gccgacatcg 60

agctcaccca 70

<210> 35

<211> 70

<212> DNA

<213> Artificial

<220>

<223> Synthetic oligonucleotide for constructing a Fab gene fragment

<400> 35

agaaaaactt agggtgaaag ttcacgcg cgtacggcc atgaaacaaa gcactattgc 60

actggcactc 70

<210> 36

<211> 70

<212> DNA

<213> Artificial

<220>

<223> Synthetic oligonucleotide for constructing a Fab gene fragment

<400> 36

agcaccaaag ttgacaagaa aatcgtaccg cgcgactgct aaccgtagta agaaaaactt 60

agggtgaaag 70

<210> 37

<211> 70

<212> DNA

<213> Artificial

<220>

<223> Synthetic oligonucleotide for constructing a Fab gene fragment

<400> 37

tgactctggg atgcctgggc aagggtatt tccctgagcc agtgacagtg acctggaact 60

ctggatcccg 70

<210> 38

<211> 70

<212> DNA

<213> Artificial

<220>

<223> Synthetic oligonucleotide for constructing a Fab gene fragment

<400> 38

gtctgtttac cctctgggc ctggttctgc ggctcagact aactctatgg tgactctggg 60

atgcctgggc 70

<210> 39

<211> 70

<212> DNA

<213> Artificial

<220>

<223> Synthetic oligonucleotide for constructing a Fab gene fragment

<400> 39

tggggccaag gcaccacggt caccgtctcc tcagcaaaga ccactcctcc gtctgtttac 60

cctctggctc 70

<210> 40

<211> 70

<212> DNA

<213> Artificial

<220>

<223> Synthetic oligonucleotide for constructing a Fab gene fragment

<400> 40

gaggtgggta tactaactac aatgagaagt tcaagggcaa ggccacactg actgcagaca 60

catcctccag 70

<210> 41

<211> 70

<212> DNA

<213> Artificial

<220>

<223> Synthetic oligonucleotide for constructing a Fab gene fragment

<400> 41

aaagcagagg cctggacatg gacttgagtg gattggagat attaccctg gaggtggta 60

tactaactac 70

<210> 42

<211> 70

<212> DNA

<213> Artificial

<220>

<223> Synthetic oligonucleotide for constructing a Fab gene fragment

<400> 42

tcctgcaagg cttctggcta caccttcact aactactggc taggttgggt aaagcagagg 60

cctggacatg 70

【図面の簡単な説明】

【図 1】

NOGOの中和抗体のFab (H鎖及びL鎖) をコードするNotI断片の塩基配列を示す図である。蛋白質コード配列は大文字で示した。また、SeVのEシグナル、介在配列、Sシグナルの塩基配列を、実線下線-点線下線-実線下線で示した。波線はNot Iと同じ接着末端となる部位を示し、この配列を利用して、H鎖およびL鎖のコード配列を例えば別々のベクターのNotI部位にクローニングすることもできる。

【図 2】

図 1 に示したFabをコードする断片の構築に使用したオリゴヌクレオチドを示す図である。

【図 3】

図 2 に示したオリゴヌクレオチドの配置を示す図である。

【図 4】

NOGO の中和抗体の Fab 遺伝子を搭載した複製型ウイルス (SeV18+IN-1) (上パネル) および複製欠損型ウイルス (SeV18+IN-1/ Δ F) (下パネル) の構造および RT-PCR によるウイルスゲノムの確認を示す図である。

【図 5】

NOGO の中和抗体の Fab 遺伝子を搭載した複製型または F 欠失型ウイルスからの Fab の発現を示す図である。ネガティブコントロール (NC) として GFP 遺伝子を搭載した複製型 SeV ベクターを用いた。感染の 2 日後 (d2) または 4 日後 (d4) の抗体の発現を示す。

【書類名】 図面

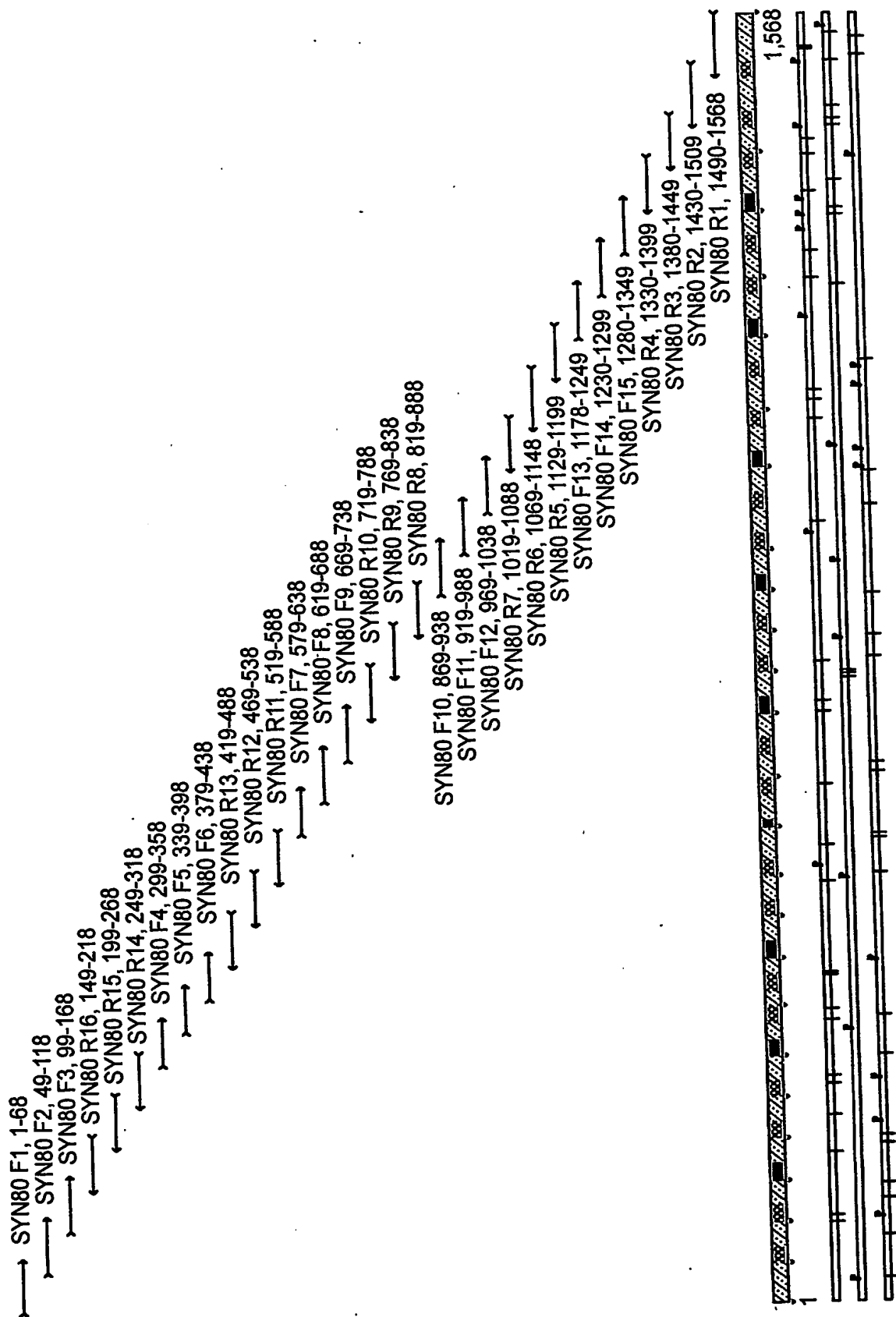
【図 1】

gcggccgcccgtacggccATGAAAAGACAGCTATCGCGATTGCAGTGGCACTGGCTGGTT
TCGCTACCGTAGCGCAGGCCGAAGTTAAACTGCATGAGTCAGGGCCTGGGCTGGTAAGGC
CTGGGACTTCAGTGAAGATATCCTGCAAGGCTTCTGGCTACACCTTCACTAACTACTGGC
TAGGTTGGGTAAAGCAGAGGCCTGGACATGGACTTGAGTGGATTGGAGATATTTACCCTG
GAGGTGGTTATACTAACTACAATGAGAAGTTCAAGGGCAAGGCCACACTGACTGCAGACA
CATCCTCCAGCACTGCCTACATGCAGCTCAGTAGCCTGACATCTGAGGACTCTGCTGTCT
ATTTCTGTGCAAGATTTTACTACGGTAGTAGCTACTGGTACTTCGATGTCTGGGGCCAAG
GCACCAGGTACCGTCTCCTCAGCAAAGACCACTCCTCCGTCTGTTTACCCTCTGGCTC
CTGGTTCTGCGGCTCAGACTAACTCTATGGTGA CTCTGGGATGCCTGGTCAAGGGCTATT
TCCCTGAGCCAGTGACAGTGACCTGGA ACTCTGGATCCCTGTCCAGCGGTGTGCACACCT
TCCCAGCTGTCTGCAATCTGACCTCTACACTCTGAGCAGCTCAGTGA CTGTCCCCTCCA
GCACCTGGCCCAGCGAGACCGTCACTGCAACGTTGCCACCCGGCTTCTAGCACCAAAG
TTGACAAGAAAATCGTACCGCGGACTGCTAAccgtagtaagaaaaacttagggtgaaag
ttcatgcggccggtacggccATGAAACAAAGCACTATTGCACTGGCACTCTTACCGTTAC
TGTTTACCCCTGTGACAAAAGCCGACATCGAGCTCACCCAGTCTCCAGCAATCATGGCTG
CATCTGTGGGAGAACTGTCAACATCACATGTGGAGCAAGTGAGAATATTTACGGTGCTT
TAAATTGGTATCAGCGGAAACAGGGAAATCTCCTCAGCTCCTGATCTATGGTGCAACCA
ACTTGGCAGATGGCATGTCTATCGAGGTTCA GTGGCAGTGGATCTGGTAGACAGTATTCTC
TCAAGATCAGTAGCCTGCATCCTGACGATGTTGCAACGTATTACTGTCAAAATGTGTAA
GTACTCCTCGGACGTTCCGGAGCTGGGACCAAGCTCGAGCTGAAGCGCGCTGATGCTGCAC
CGACTGTATCCATCTTCCCACCATCCAGTGAGCAGTTAACATCTGGAGGTGCCTCAGTCG
TGTGCTTCTTGAACAACTTCTACCCCAAAGACATCAATGTCAAGTGGAAGATTGATGGCA
GTGAACGACAAAATGGCGTCCTGAACAGTTGGACTGATCAGGACAGCAAAGACAGCACCT
ACAGCATGAGCAGCACCCCTCACGTTGACCAAGGACGAGTATGAACGACATAACAGCTATA
CCTGTGAGGCCACTCACAAGACATCAACTTCACCCATTGTCAAGAGCTTCAACAGGAATG
AGTGTTAGtccgtagtaagaaaaacttagggtgaaagttcatgcggccgc

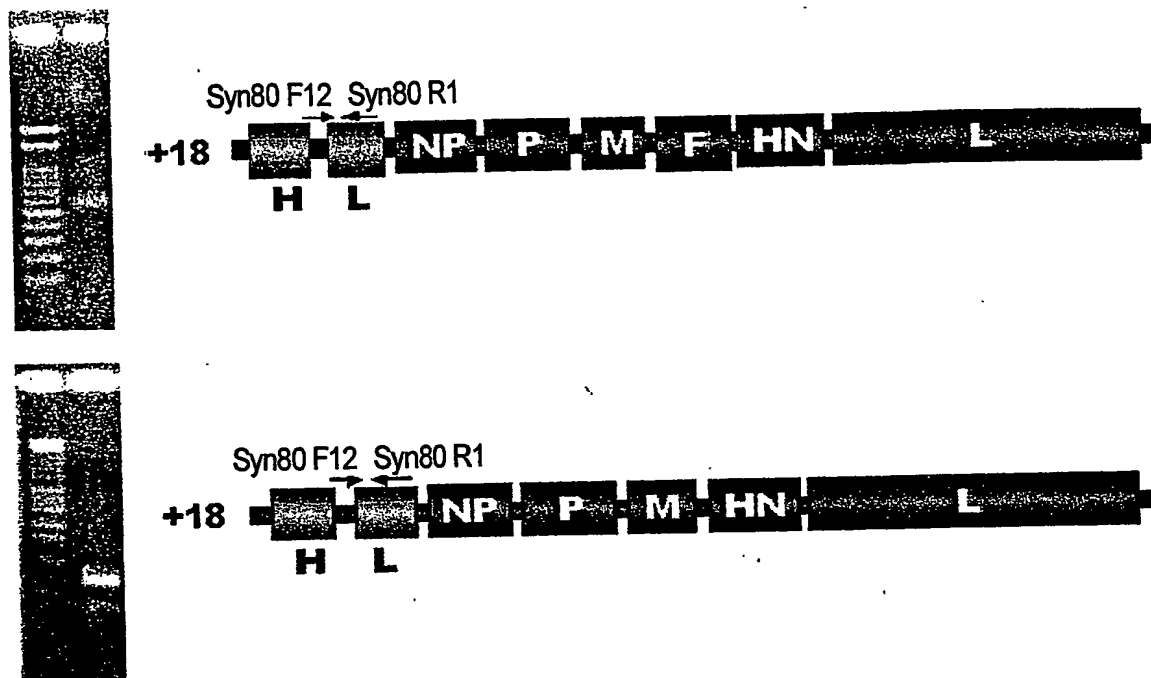
【图 2】

SYN80 F1:	CGGAATTCGGGCGCGGTACGGCCATGAAAAAGACAGCTATCGCGATTGCGAGTGGCACTGGCTGGTT	(配列番号:12)
SYN80 F2:	TGCAGTGGCACTGGCTGGTTTCGTACCGTAGCGCAGGCCGAAGTTAAACTGCATGAGTCAGGCGCTGGG	(配列番号:13)
SYN80 F3:	TGCATGAGTCAGGCGCTGGCTGGTAAGCCCTGGACTTCAGTGAAGATATCCTGCAAGGCTTCTGGCTA	(配列番号:14)
SYN80 F4:	ACTGCAGACACATCCTCCAGCACTGCCATGACAGCTCAGTAGCCTGACATCTGAGGAC	(配列番号:15)
SYN80 F5:	GTAGCCTGACATCTGAGGACTCTGCTGTCTATTCTGTGCAAGATTTACTACGGTAGTA	(配列番号:16)
SYN80 F6:	AAGATTTTACTACGGTAGTACTACTGTTGTTCTCGATGTCTGGGCCAAGGCACCCACGGT	(配列番号:17)
SYN80 F7:	CGGGATCCCTGTCCAGCGGTGTGCACACCTTCCAGCTGTCCCTCCAGCACCTGGCCCAGCGAGACC	(配列番号:18)
SYN80 F8:	CCTGCAATCTGACCTCTACACTCTGAGCAGCTCAGTACTGTCCCTCCAGCACCTGGCCCAGCGAGACC	(配列番号:19)
SYN80 F9:	GCACCTGGCCAGCGAGACCGTCACTGAGCAAGTGAATATTTACGGTGTCTTAAATTTGATCAGCGGAAA	(配列番号:20)
SYN80 F10:	GCCGACATCGAGCTCACCCAGTCTCCAGCAATCATGGCTGCATCTGTGGGAGAAACTGTCAACATCACAT	(配列番号:21)
SYN80 F11:	AGAACTGTCAACCATCACATGTGGAGCAAGTGAATATTTACGGTGTCTTAAATTTGATCAGCGGAAA	(配列番号:22)
SYN80 F12:	TAAATTTGATCAGCGGAAACAGGGAATCTCCTCAGCTCCTGATCTATCCATCTTCCACCATCCAGTGAGCTTAAAC	(配列番号:23)
SYN80 F13:	ACCGCTCGAGCTGAAGCGGCTGATGTGCAACGTTGCCACCCGGCTTCTAGCAGTGTATCCATCTTCCACCATCCAGTGAGCTTAAAC	(配列番号:24)
SYN80 F14:	CCATCCAGTGAGCAGTTAACATCTGGAGGTGCCTCAGTGTGTCTTGAACAACCTTCTACCCCAAAG	(配列番号:25)
SYN80 F15:	GAACAACCTTACCCCAAGACATCAATGTCAAGTGAAGATTGATGGCAGTGAACGACAAAATGGCGTC	(配列番号:26)
SYN80 R1:	CAAGAGCTTCAACAGGAATGAGTGTAGTCCGTAGTAAAGAAAACCTTAGGGTGAAGTTTATGGCGCCGCAAGCTTGGG	(配列番号:27)
SYN80 R2:	TGAACGACATAACAGCTATACCTGTGAGGCCACTCACAGACATCAACTTCAACAGCTTGTCAAGAGCTTCAACAGGAATG	(配列番号:28)
SYN80 R3:	GACAGCACCTACAGCATGAGCAGCACCCCTCACGTTGACCAAGGACGAGTATGAACGACATAACAGCTATA	(配列番号:29)
SYN80 R4:	GTGAACGACAAAATGGCGTCCCTGAACAGTTGGACTGATCAGGACAGCAAGACAGCACCTACAGCATGAG	(配列番号:30)
SYN80 R5:	TTACTGTCAAAATGTGTTAAGTACTCTCAAGATCAGTAGCCCTGCATCCTGACGATGTTGCAACGTTACTGTCAAAATGTGTTAA	(配列番号:31)
SYN80 R6:	GGTGCAACCAACTTGGCAGATGGCATGTTCAGAGGTTTCAGTGGCAGTGGATCTGGTAGACAGTATTCTC	(配列番号:32)
SYN80 R7:	GCACTATTGCACCTGGCACTCTTACCGTTACTGTTTACCCCTGTGACAAAAGCCGACATCGAGCTCACCCCA	(配列番号:33)
SYN80 R8:	AGAAAACTTAGGGTGAAAGTTTCATCGCGGCCGTACGGCCATGAAACAAAGCACTATTGCACTGGCACTC	(配列番号:34)
SYN80 R9:	AGCACCAGTTGACAGAAAATCGTACCGCGCGACTGTACCGTAGTAACCGTAGTAAGAAAACCTTAGGGTGAAG	(配列番号:35)
SYN80 R10:	TGACTCTGGGATGCCCTGGTCAAGGGCTATTTCCTGAGCCAGTGACAGTGAACCTGGAACTCTGGATCCCG	(配列番号:36)
SYN80 R11:	GTCCTGTTTACCCCTCTGGCTCCTGGTTCTGCGGCTCAGACTAATCTATGGTGAATCTGGGATGCCTGGTC	(配列番号:37)
SYN80 R12:	TGGGGCCCAAGGCACCGGTACCGTCTCCTCAGCAAGACCACTCCTCCGCTCTGTTTACCCCTCTGGCTC	(配列番号:38)
SYN80 R13:	GAGGTGTTTATATACTAATAATGAGAAATTCAGGCAAGGCCACACTGACTGCTGACAGACACATCCTCCAG	(配列番号:39)
SYN80 R14:	AAAGCAGAGGCTTGACATGGACTTGAGTGGATTGGAGATATTACCCCTGGAGGTGTTACTACTAATACTAC	(配列番号:40)
SYN80 R15:	TCCTGCAAGGCTTCTGGCTACACCTTCACTACTACTGCTAGGTGGGTAAAGCAGAGGCGCTTGACATG	(配列番号:41)
SYN80 R16:		(配列番号:42)

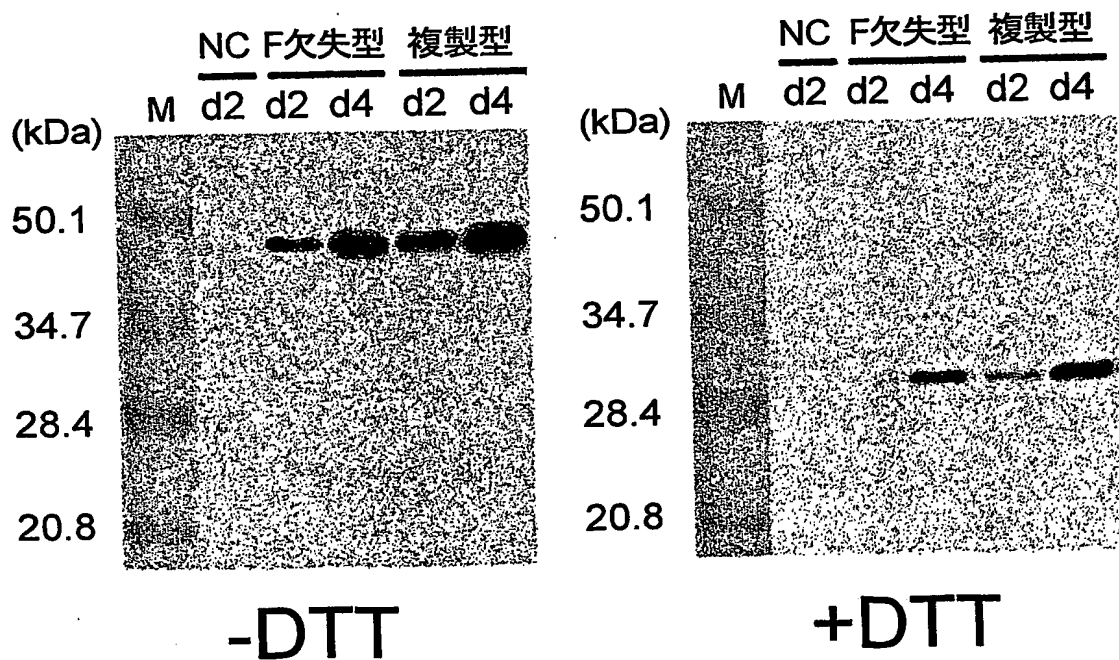
【図 3】



【図 4】



【図 5】



【書類名】 要約書

【要約】

【課題】 抗体をコードするパラミクソウイルスベクターおよびその利用を提供する。

【解決手段】 本発明は抗体可変領域を含むポリペプチドを発現するパラミクソウイルスベクターを提供する。抗体H鎖およびL鎖の可変領域をコードする本発明のベクターは、これらの抗体鎖を同時に発現しFabを形成した。本発明のベクターは、インビボまたはエキスピボにより生体内に投与するための遺伝子治療ベクターとして適している。特に神経伸長阻害因子に対する抗体断片を発現するベクターは、神経損傷への遺伝子治療に有用である。また、免疫活性化シグナル伝達を阻害する抗体を発現する本発明のベクターは、ベクターからの遺伝子の長期発現を可能にする。

【選択図】 なし

出 願 人 履 歴 情 報

識別番号

[595155107]

1. 変更年月日 1995年11月 1日

[変更理由] 新規登録

住 所 茨城県つくば市観音台1丁目25番11号

氏 名 株式会社ディナベック研究所